Semaine 8: **Magnétostatique 2**

Dipôle magnétiques des atomes et des molécules

Les moments de dipôle magnétiques des atomes et des molécules dérivent de:

- 1) le moment angulaire orbital des électrons
- 2) le moment angulaire intrinsèque (de spin) des électrons, des protons et des neutrons.

Formellement:

Moment de dipole magnetique orbitale

$$\mathbf{m} = \frac{1}{2} \int_{V} \mathbf{r} \times \mathbf{J}(\mathbf{r}) dV = \frac{1}{2} \sum_{k=1}^{N} q_{k} (\mathbf{r}_{k} \times \mathbf{v}_{k})$$

$$\mathbf{L}_{k} \equiv m_{k} \left(\mathbf{r}_{k} \times \mathbf{v}_{k} \right)$$
 (moment angulaire orbitale de la particule k)

$$\Rightarrow \mathbf{m}_L = \frac{1}{2} \sum_{k=1}^{N} \frac{q_k}{2m_k} \mathbf{L}_k$$

Si toutes les particules ont le même rapport charge sur masse:

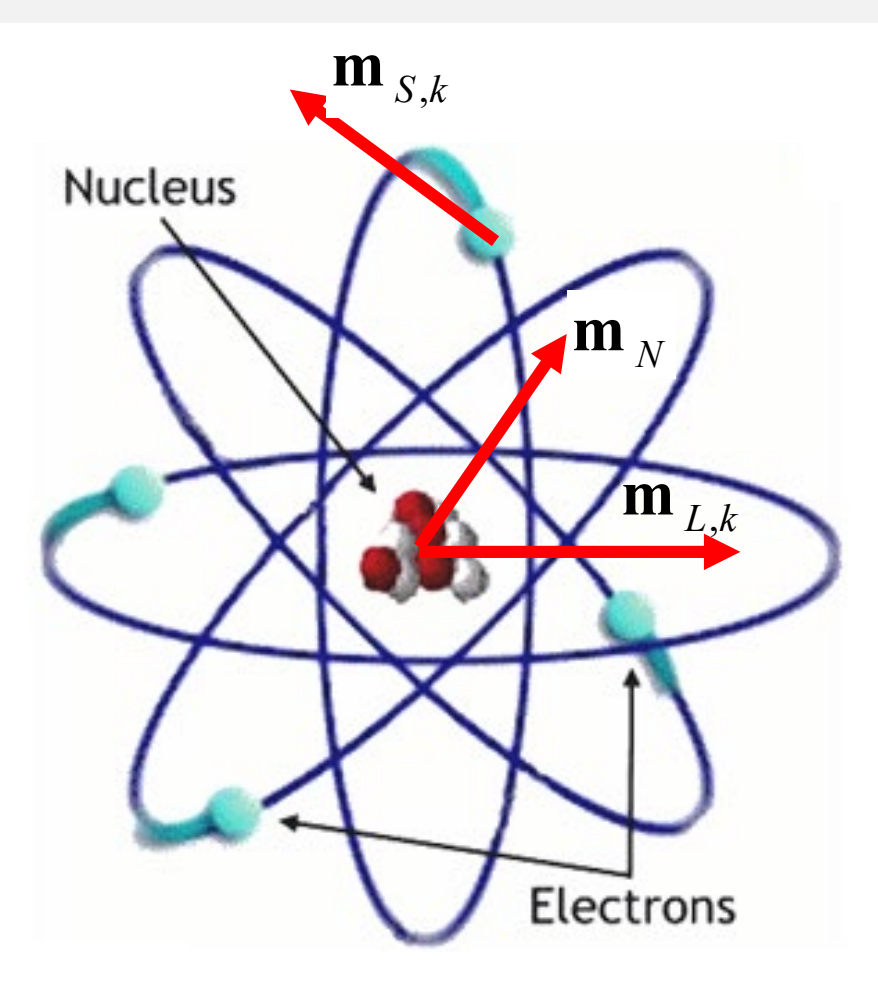
$$\mathbf{m}_{L} = \frac{q}{2m} \sum_{k=1}^{N} \mathbf{L}_{k} = \frac{q}{2m} \mathbf{L}$$
 (L = $\sum_{k=1}^{N} \mathbf{L}_{k}$ est le moment angulare orbitale totale)

Moment de dipole magnetique intrisique (ou spin)

Aucune "analogie de physique classique" précise:

$$\mathbf{m}_S = g \frac{q}{2m} \mathbf{S}$$
 (S moment angulare de spin)

Dipôle magnétique de l'atome



Note:

"courant atomique équivalente"

$$I \approx \frac{\mu_B}{S} \approx \frac{10^{-23} \,\text{Am}^2}{10^{-20} \,\text{m}^2} = 10^{-3} \,\text{A}$$

"vitesse équivalente"

$$v \approx \frac{2\pi RI}{e} \approx \frac{10^{-9} \,\mathrm{m} \times 10^{-3} \,\mathrm{A}}{10^{-19} \,\mathrm{C}} \approx 10^7 \,\mathrm{m/s}$$

 $\mathbf{m}_{L,k}$: Moment magnétique orbital de l'électron k

 $\mathbf{m}_{S,k}$: Moment magnétique intrinsèque de l'électron k

m_N: Moment magnétique du noyeau

$$\mathbf{m}_{S,k} \cong \mathbf{m}_{L,k}$$
 $\mathbf{m}_{N} << \mathbf{m}_{S,k}, \mathbf{m}_{L,k}$

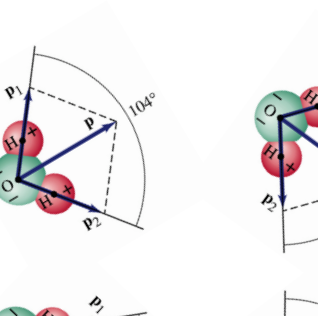
Moment magnetique total de l'atome i \mathbf{m}_i :

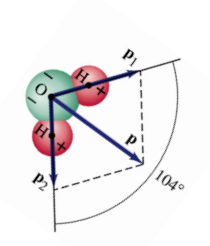
$$\left|\mathbf{m}_{i}\right| \cong \alpha \mu_{B} \qquad \alpha \in [0,10]$$

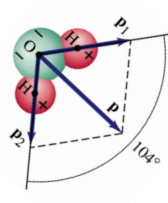
$$\mu_B = \frac{e\hbar}{2m_e} \cong 9.24 \times 10^{-24} \text{ Am}^2$$

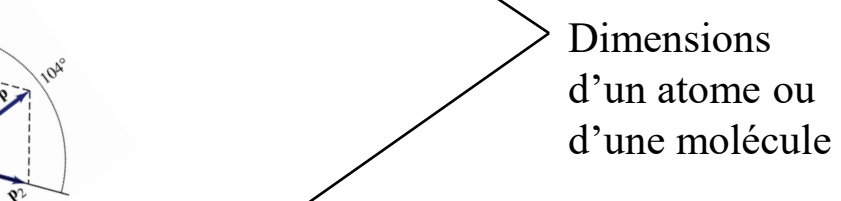
Matériaux «diélectriques»:

composés de **dipôles électriques** <u>microscopiques</u> (induits par E ou permanents)





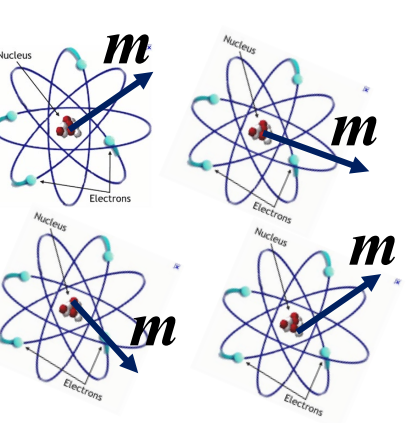




Matériaux «magnétiques»:

composés de dipôles magnétiques microscopiques

(induits par **B** ou permanentes)



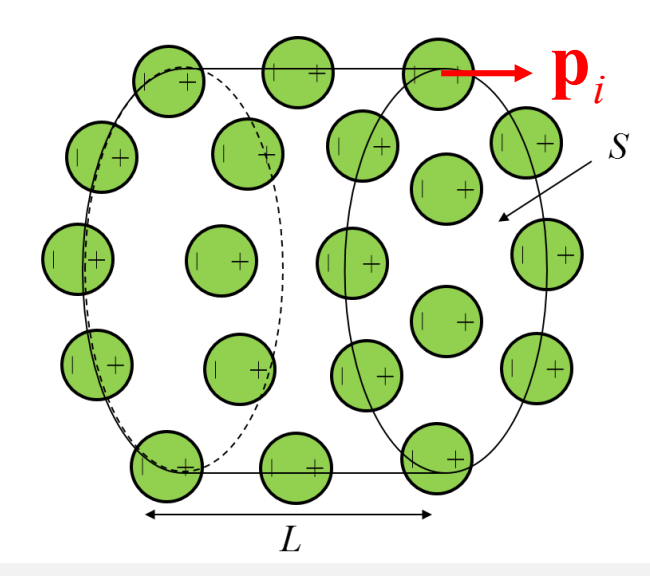
Polarisation: le vecteur P

Polarisation:

moment électrique dipolaire par unité de volume

$$\mathbf{P} = \frac{\sum_{i} \mathbf{p}_{i}}{\Delta V} = \frac{\sum_{i} \mathbf{p}_{i}}{LS}$$

$$[\mathbf{p}_i] = \text{Cm}; \quad [\mathbf{P}] = \text{C/m}^2$$



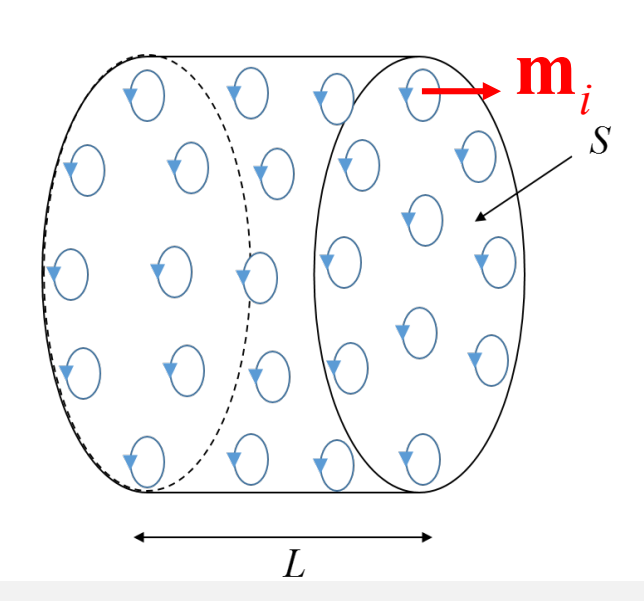
Aimantation: le vecteur M

Aimantation:

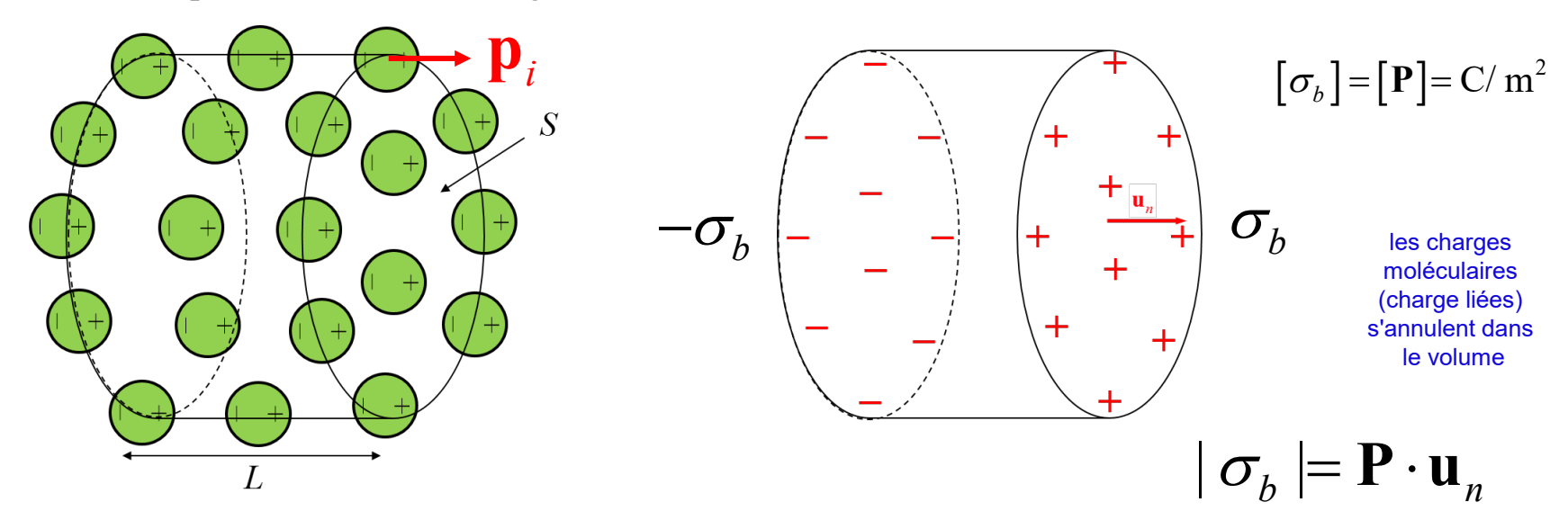
moment magnétique dipolaire par unité de volume

$$\mathbf{M} = \frac{\sum_{i} \mathbf{m}_{i}}{\Delta V} = \frac{\sum_{i} \mathbf{m}_{i}}{LS}$$

$$[\mathbf{m}_i] = \mathrm{Am}^2; \quad [\mathbf{M}] = \mathrm{Am}^{-1}$$

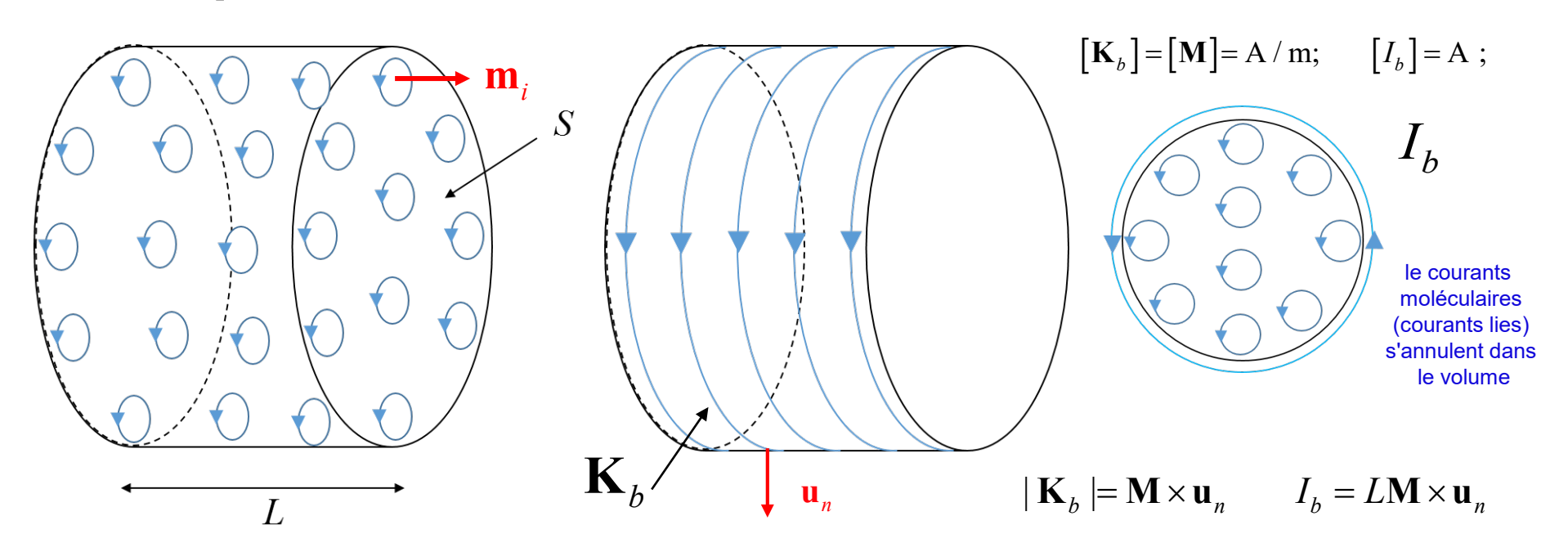


«Modèle équivalent» avec «charges liées de surface»:



Densité de surface des charges "liées" (bound): $\sigma_b = \mathbf{P} \cdot \mathbf{u}_n$

«Modèle équivalent» avec «courants liées de surface»:



Densité de surface des courants "liés" (bound): $|\mathbf{K}_b| = \mathbf{M} \times \mathbf{u}_n$

Susceptibilité et Perméabilité

Analogie Electrique Magnétique

Toujours valable: $\mathbf{D} = \varepsilon_0 \mathbf{E} + \mathbf{P}$

Matériau linéaire: $P = \varepsilon_0 \chi_e E$

 \Rightarrow

$$\mathbf{D} = \varepsilon_0 (1 + \chi_e) \mathbf{E} = \varepsilon_0 \varepsilon_r \mathbf{E} = \varepsilon \mathbf{E}$$

 χ_e : susceptibilité électrique

 ε_r : permittivité électrique relative (constante diélectrique relative)

Toujours valable: $\mathbf{B} = \mu_0 (\mathbf{H} + \mathbf{M})$

Matériau linéaire: $\mathbf{M} = \chi_m \mathbf{H}$

 \Rightarrow

$$\mathbf{B} = \mu_0 (1 + \chi_m) \mathbf{H} = \mu_0 \mu_r \mathbf{H} = \mu \mathbf{H}$$

 χ_m : susceptibilité magnétique

 μ_r : perméabilité magnétique relative

Types de magnétisme

$$\mathbf{M} = \chi_m \mathbf{H}$$

 χ_m : Susceptibilité magnétique

Type	Valeurs typiques	Origine physique
Diamagnétisme	$\chi_m \approx -10^{-6}$	Dipôles magnétiques «induits» non couplés
Paramagnétisme	$\chi_m \approx + (10^{-5} \div 10^{-3})$	Dipôles magnétiques «permanents» non couplés
Ferromagnétisme	$\chi_m \approx + \left(0 \div 10^6\right)$	Dipôles magnétiques «permanents» couplés

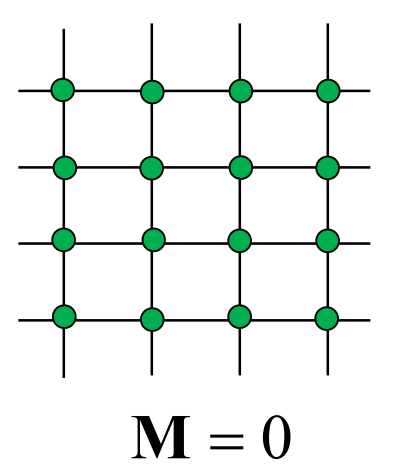
Susceptibilité magnétique (à T=293 K, 1 atm)

Material	Susceptibility	Material	Susceptibility
Diamagnetic:		Paramagnetic:	
Bismuth	-1.7×10^{-4}	Oxygen (O ₂)	1.7×10^{-6}
Gold	-3.4×10^{-5}	Sodium	8.5×10^{-6}
Silver	-2.4×10^{-5}	Aluminum	2.2×10^{-5}
Copper	-9.7×10^{-6}	Tungsten	7.0×10^{-5}
Water	-9.0×10^{-6}	Platinum	2.7×10^{-4}
Carbon Dioxide	-1.1×10^{-8}	Liquid Oxygen	3.9×10^{-3}
		(-200° C)	
Hydrogen (H ₂)	-2.1×10^{-9}	Gadolinium	4.8×10^{-1}

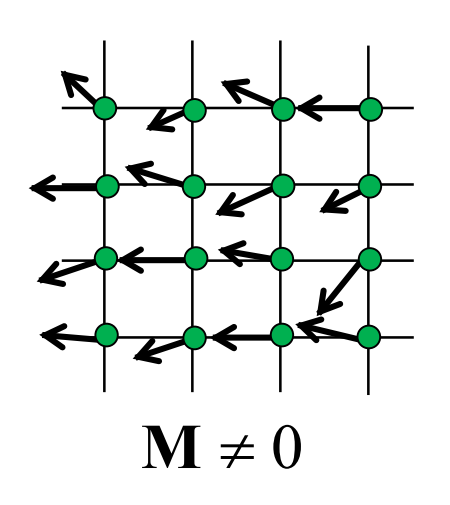
	DIAMAGNETIC	PARAMAGNETIC	FERROMAGNETIC SOFT (IDEAL)	FERROMAGNETIC HARD (IDEAL)
B=0				
$\mathbf{B} \downarrow$ $mB >> kT$				

Diamagnétisme et Paramagnétisme





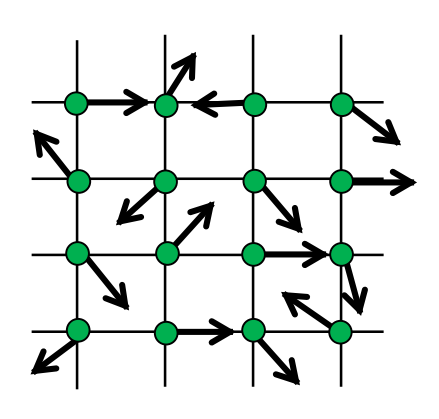
$$\mathbf{B} \neq 0$$



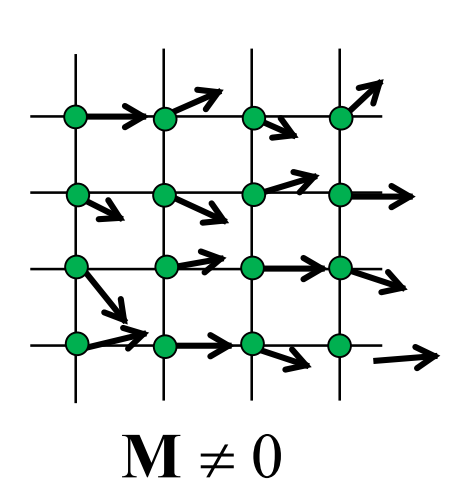
Atomes Diamagnétiques

Atome sans dipôle magnétique «permanent».

Atome avec dipôle magnétique «induit»



 $\mathbf{M} = 0$



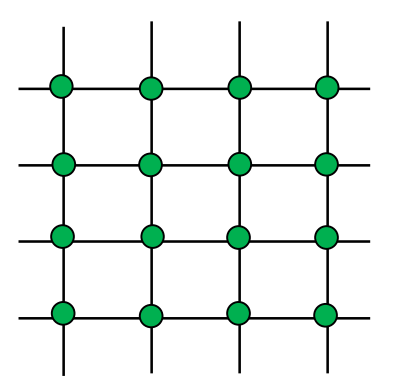
Atomes Paramagnétiques

Atome avec dipôle magnétique «permanent».

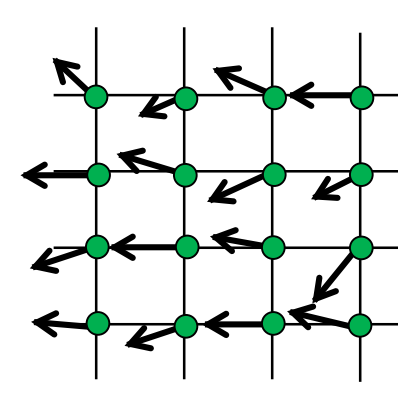
Diamagnetisme

Dipôles magnétiques «induits» non couplés

$$\mathbf{B} = 0$$







- Atome sans dipôle magnétique «permanent».
- Atome avec dipôle magnétique «induit»

$$\mathbf{B} = 0 \implies \mathbf{m}_i = 0, \mathbf{M} = 0$$

 $\mathbf{B} \neq 0 \Rightarrow$ le champ magnétique induit un moment magnétique sur les atomes, par "distorsions" (force de Lorentz) du mouvement des électrons dans les orbitales atomiques, résultant en une aimantation \mathbf{M} antiparalléle à \mathbf{B} :

$$\mathbf{M} / / - \mathbf{B}$$
 , $\mathbf{M} \equiv \chi_m \mathbf{H}$ with $\chi < 0$

Note:

On peut montrer que, pour un materiau diamagnetique:

$$\mathbf{M} = -\frac{ne^2 \mu_0}{6m_e} \left(\sum_i r_i^2\right)_{moy} \mathbf{H} \qquad \Rightarrow \qquad \chi_m = -\frac{ne^2 \mu_0}{6m_e} \left(\sum_i r_i^2\right)_{moy}$$

n: nombre d'atomes par unité de volume [m⁻³]

 r_i : distance du i^{eme} électron au noyau de l'atome [m]

 m_e : masse de l'électron [kg]

e: charge de l'électron [C]

Paramagnétisme

Dipôles magnétiques «permanents» non couplés



$$\mathbf{B} = 0 \implies \mathbf{m}_i \neq 0, \mathbf{M} = 0$$

 $\mathbf{B} \neq 0 \Rightarrow \text{Un champ magnétique exerce une couple } \mathbf{m} \times \mathbf{B} \text{ qui tend à aligner les dipôles magnétiques le long du champ } \mathbf{B}$ (le système a tendance à minimiser l'énergie potentielle magnétique $U_B = -\sum_i \mathbf{m}_i \cdot \mathbf{B}$),

Les mouvements moléculaire aléatoires dûs à la température tendent à contrebalancer l'effet d'alignement dû au champ magnétique.

(l'énergie thermique $(U_{th} \cong kT)$ tend à orienter les moments magnétiques de façon aléatoire).

Le résultat finale est:

$$\mathbf{M} / / \mathbf{B}$$
 , $\mathbf{M} \equiv \chi_m \mathbf{H}$ with $\chi_m > 0$

Note.

On peut montrer que, pour un materiau paramagnetique:

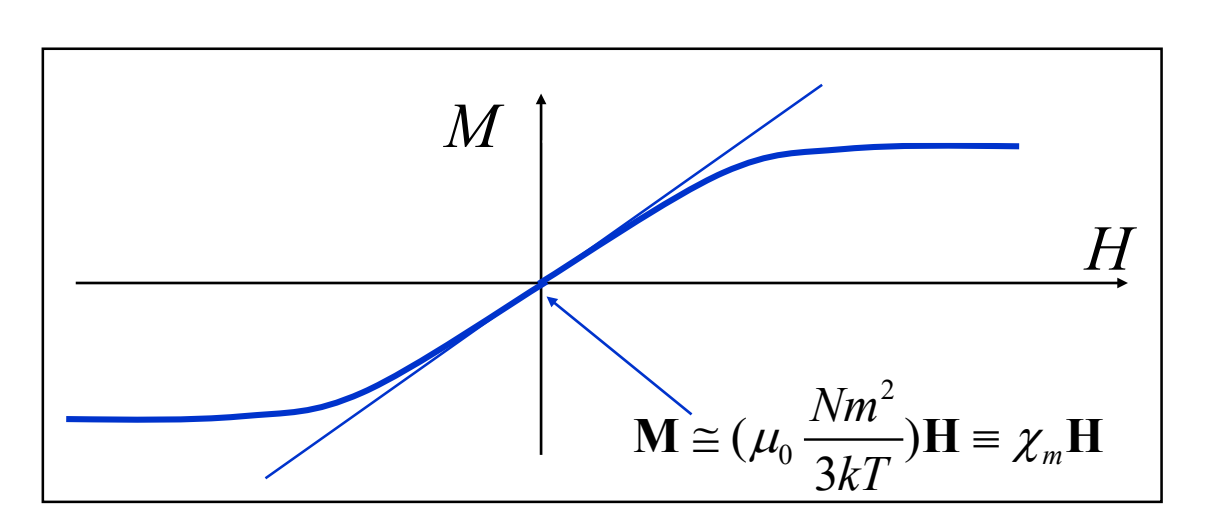
$$\mathbf{M} = Nm \left[\coth(\frac{\mu_0 mH}{kT}) - \frac{kT}{\mu_0 mH} \right] \frac{\mathbf{H}}{|\mathbf{H}|}$$

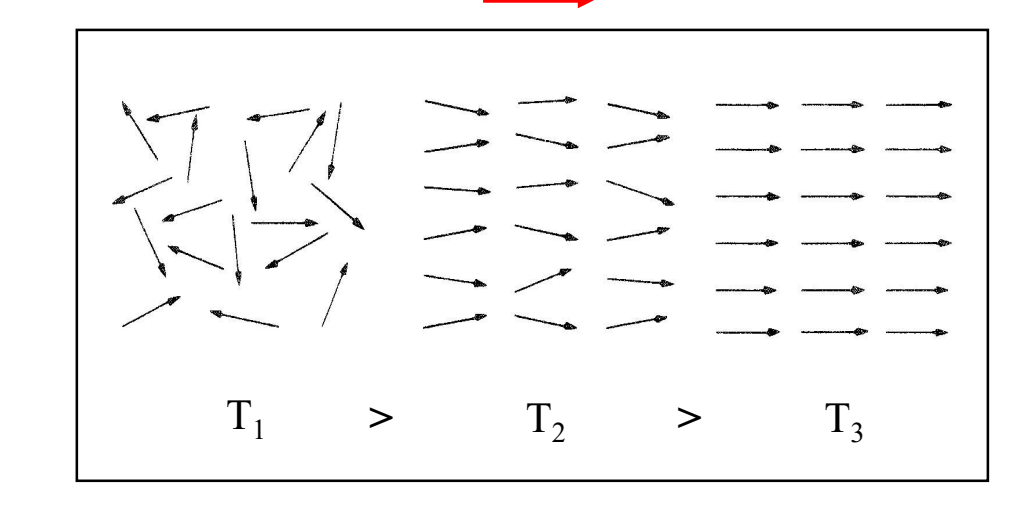
Pour
$$\frac{\mu_0 mH}{kT} << 1 \Rightarrow \mathbf{M} \cong \frac{Nm^2 \mu_0 \mathbf{H}}{3kT} \Rightarrow \chi_m = \frac{Nm^2 \mu_0}{3kT}$$

Pour $x << 1$: $\coth(x) - \frac{1}{x} \cong \frac{1}{3}x$

Loi de Curie

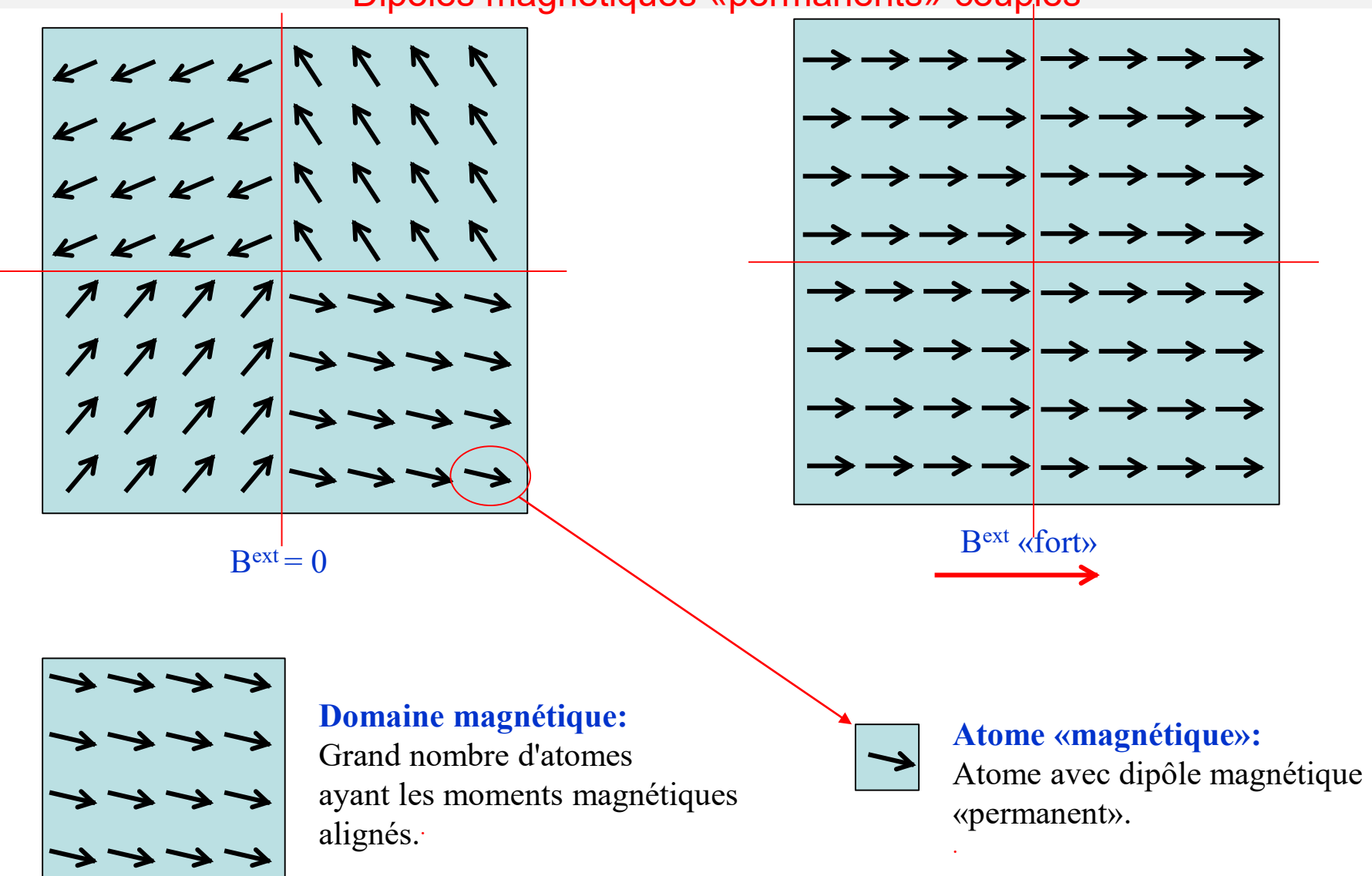
$$\frac{\mu_0 mH}{kT} >> 1 \Rightarrow \mathbf{M} \cong Nm$$

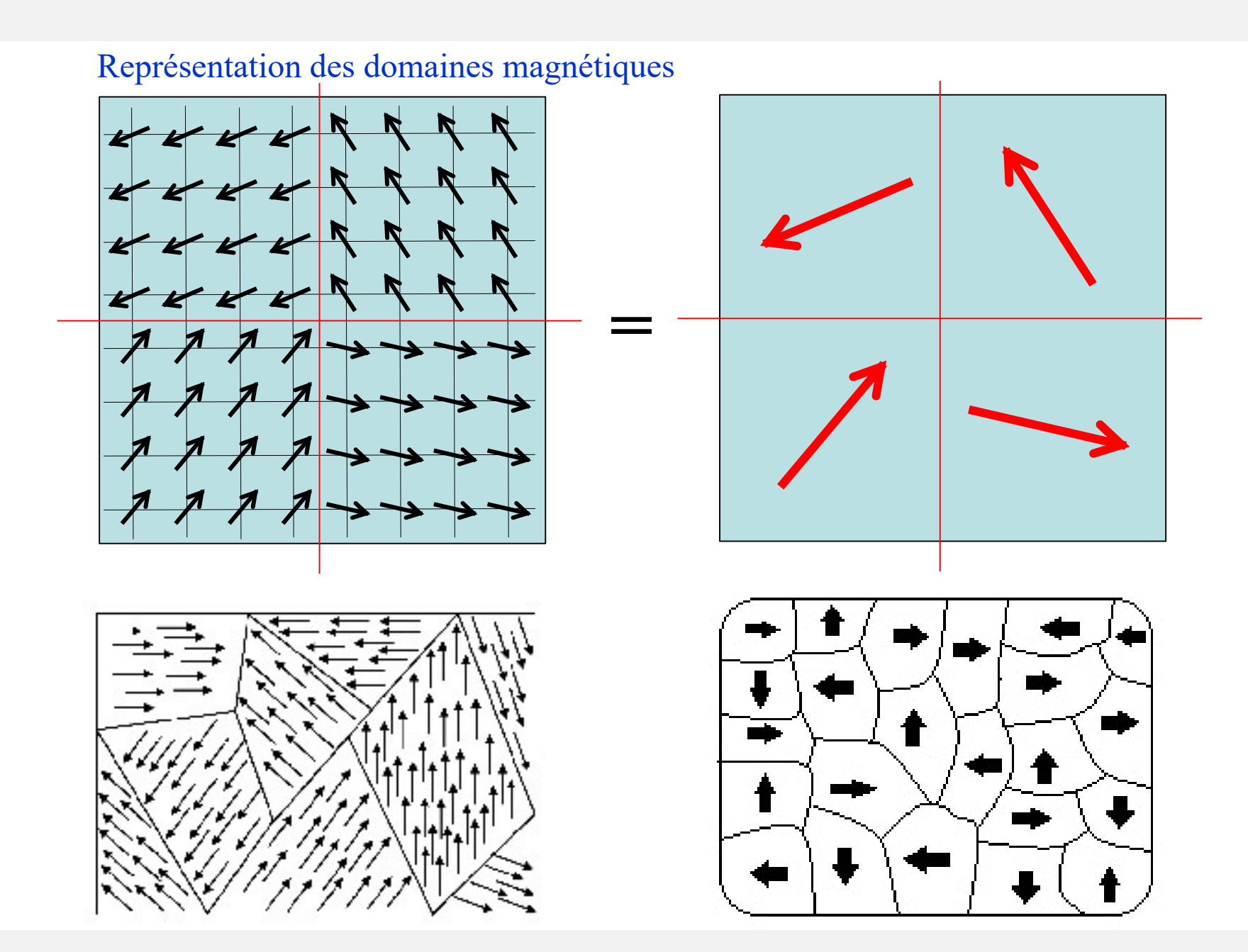




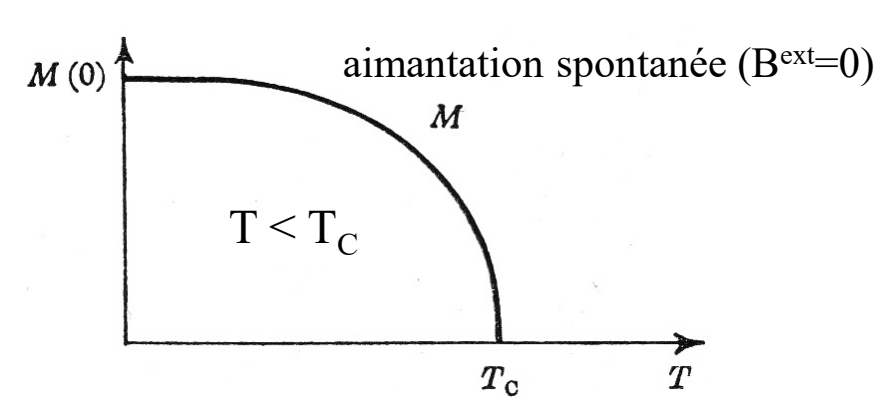
Ferromagnétisme

Dipôles magnétiques «permanents» couplés

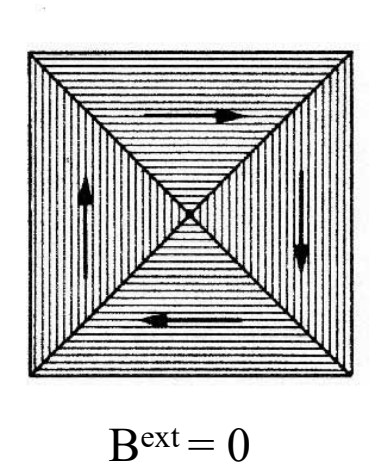


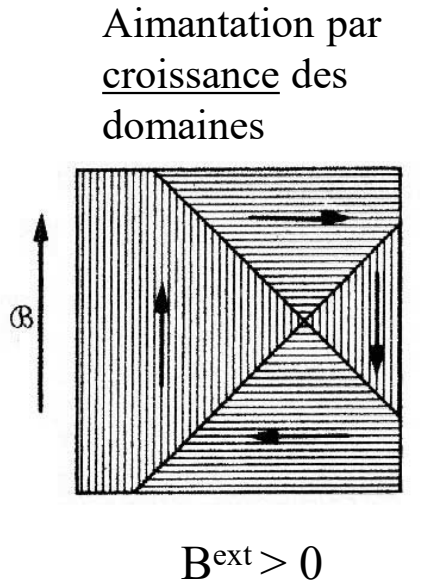


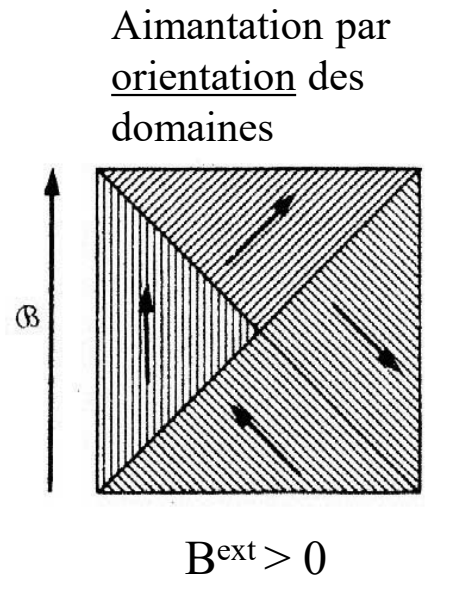
Aimantation dans les domaines magnétiques vs **température**:



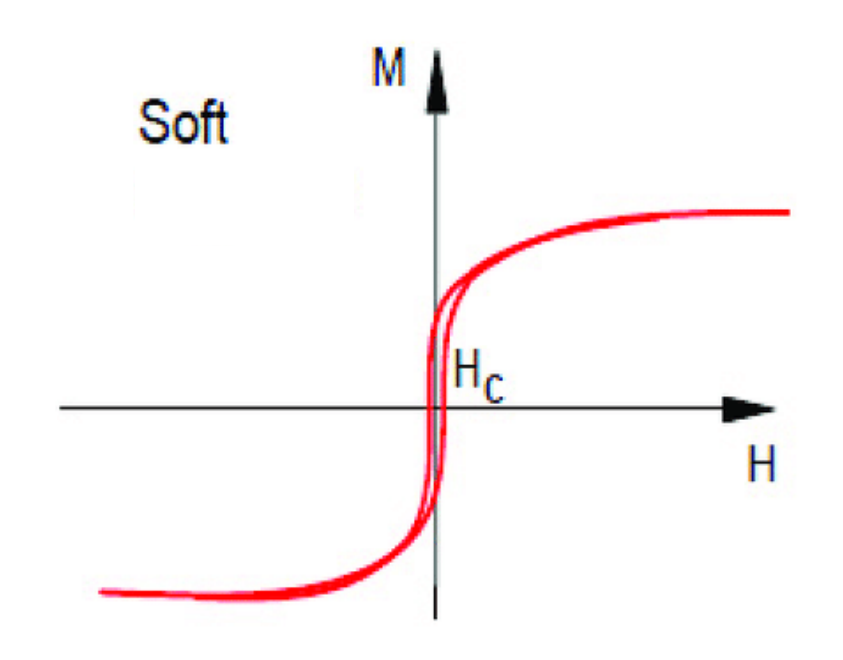
Aimantation dans les domaines magnétiques vs champs magnétique:







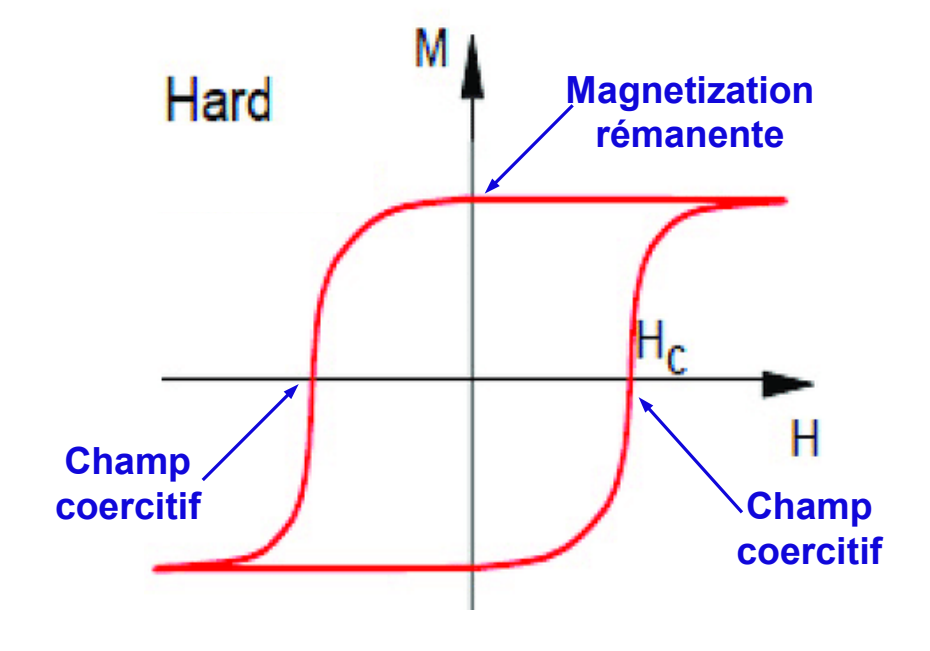
Soft and hard ferromagnetic materials



Magnétisation rémanente: très faible

Hystérésis: très faible

Champ coercitif: très faible



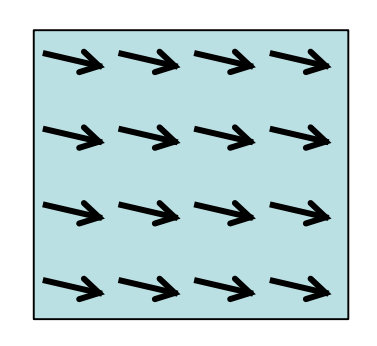
Magnétisation rémanente : très grande

Hystérésis: très grande

Champ coercitif: très grande

Ferromagnétique, Antiferromagnétique, Ferrimagnétique

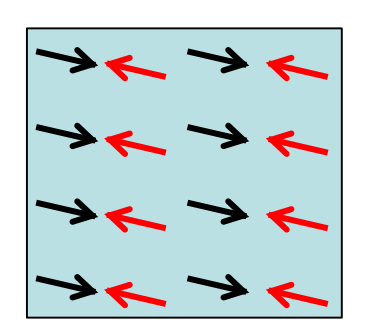
Domaine magnétique



Ferromagnétique:

Les moments magnétiques des tous les atomes sont parallèles.

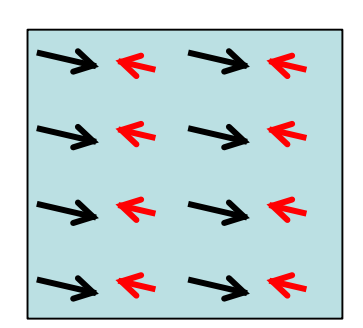
$$\mathbf{M} \neq 0$$



Antiferromagnétique:

Les moments magnétiques des atomes sont tous de même amplitude mais sont antiparallèles.

$$\mathbf{M} = 0$$

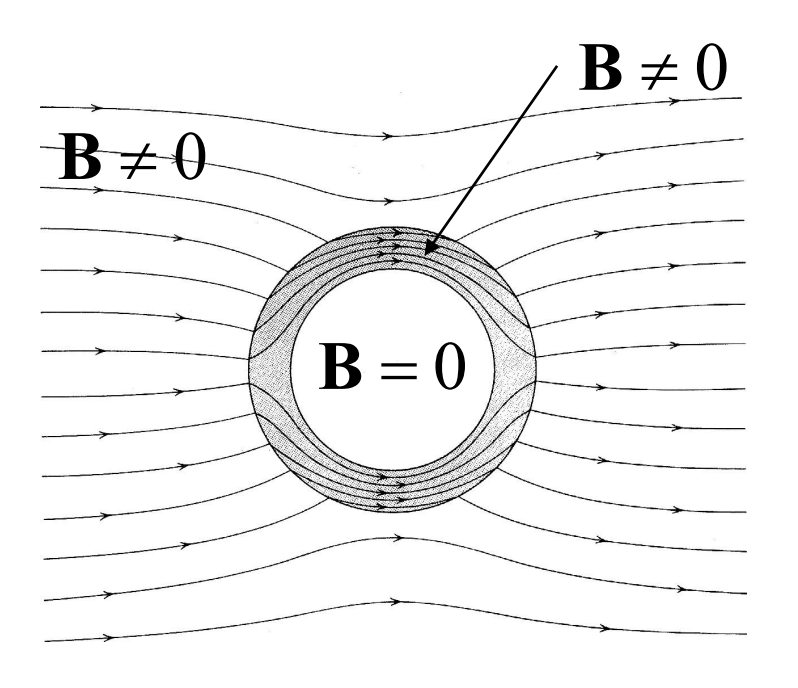


Ferrimagnétique:

Les moments magnétiques des atomes sont d'amplitude différentes et sont antiparallèles.

$$\mathbf{M} \neq 0$$

Ecrantage magnétique



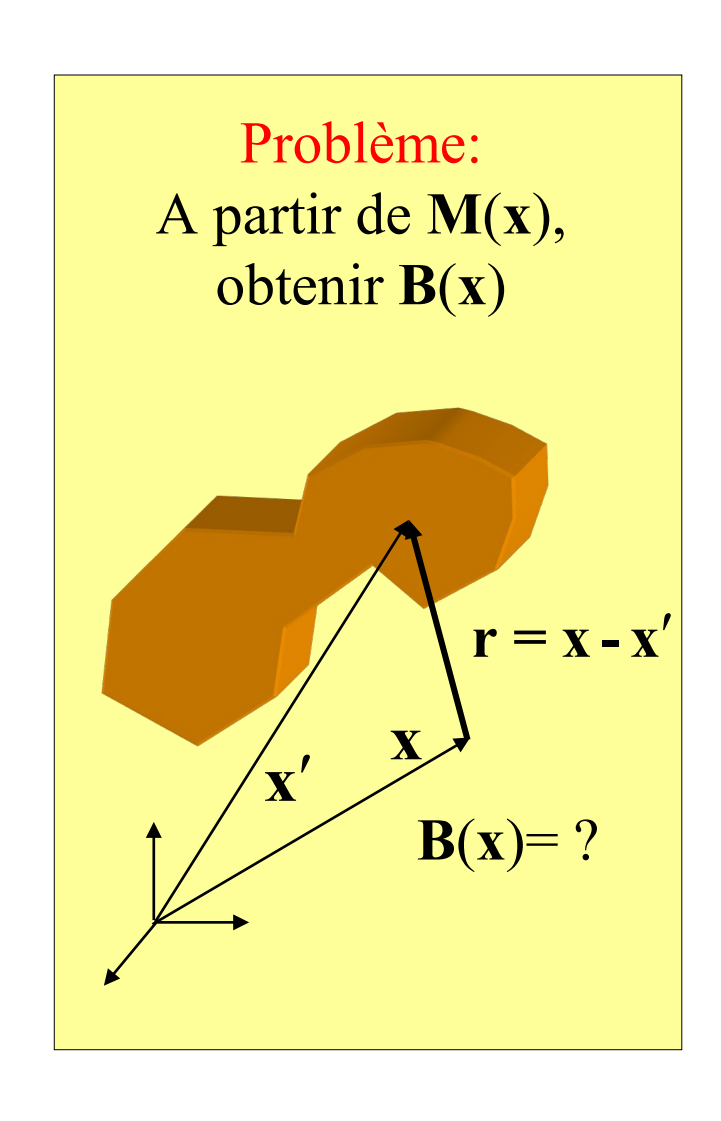
Ecrantage (B=0 à l'intérieur de la «boîte»):

Les dipôles magnétiques dans le matériau sont orientés de telle manière qu'ils produisent un champ de grandeur égale mais de sens opposé par rapport au champ externe.

Le champ magnétique total à l'intérieur de la boîte est nul.

Un possible matériau: «mu-métal» (alliages avec ~80% Ni): $\mu_{\rm r}$ ~ 100000

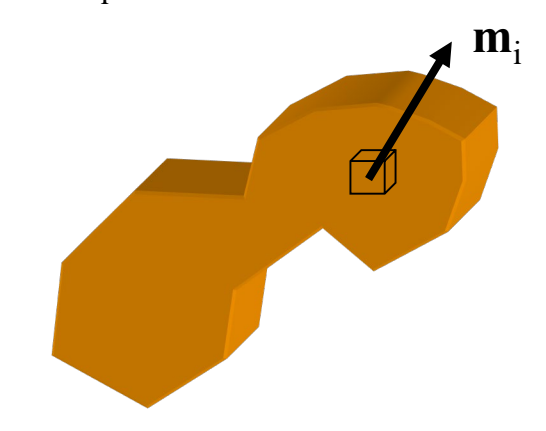
Champ magnétique créé par un objet magnétisé



1. Méthode des «dipôle magnétiques»

B d'un dipôle magnétique **m**_i

$$\mathbf{B}(\mathbf{x}) = \sum_{i} \frac{\mu_{0}}{4\pi} \frac{3(\mathbf{m}_{i} \cdot \hat{\mathbf{r}}_{i})\hat{\mathbf{r}}_{i} - \mathbf{m}_{i}}{|\mathbf{r}_{i}|^{3}} = \frac{\mu_{0}}{4\pi} \int_{V} \frac{3(\mathbf{M}(\mathbf{x}') \cdot \hat{\mathbf{r}})\hat{\mathbf{r}} - \mathbf{M}(\mathbf{x}')}{|\mathbf{r}|^{3}} dV$$

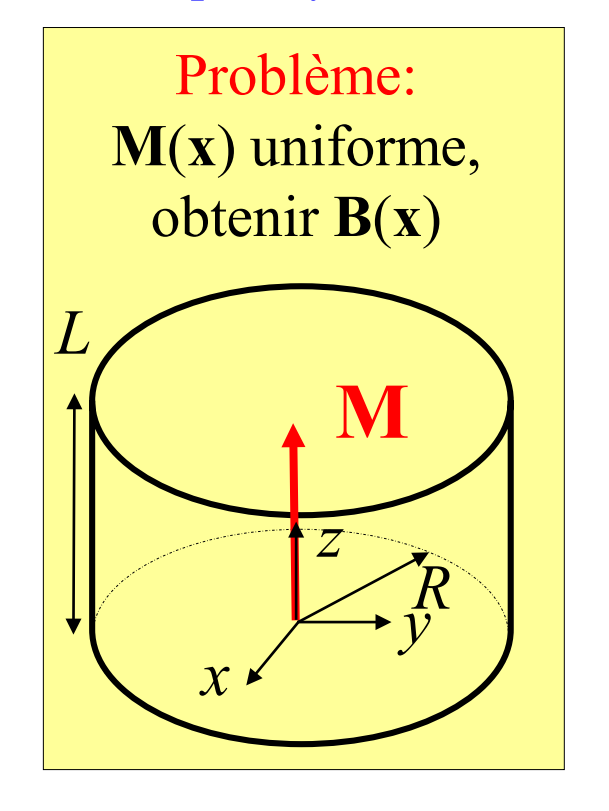


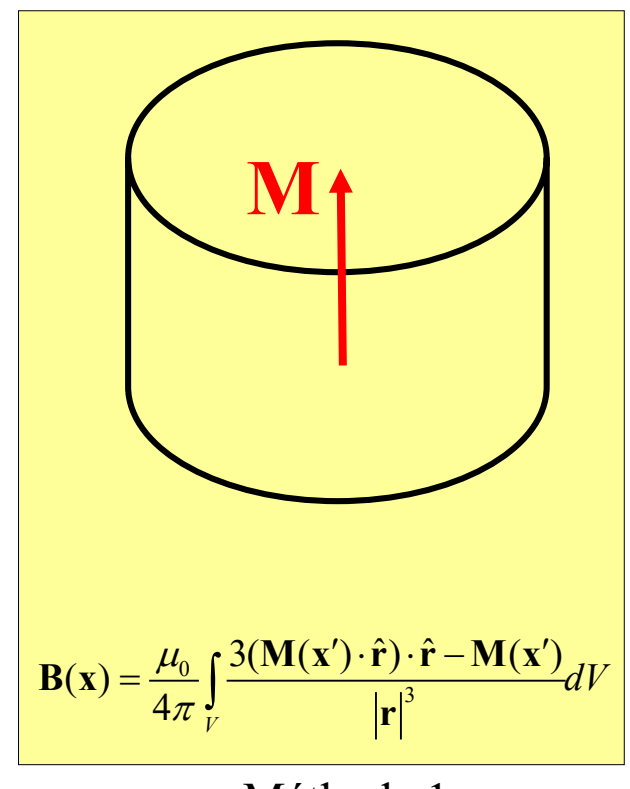
2. Méthode des «courants de surface lié»

$$\mathbf{K}_{b} \equiv -\mathbf{u}_{n} \times \mathbf{M}$$

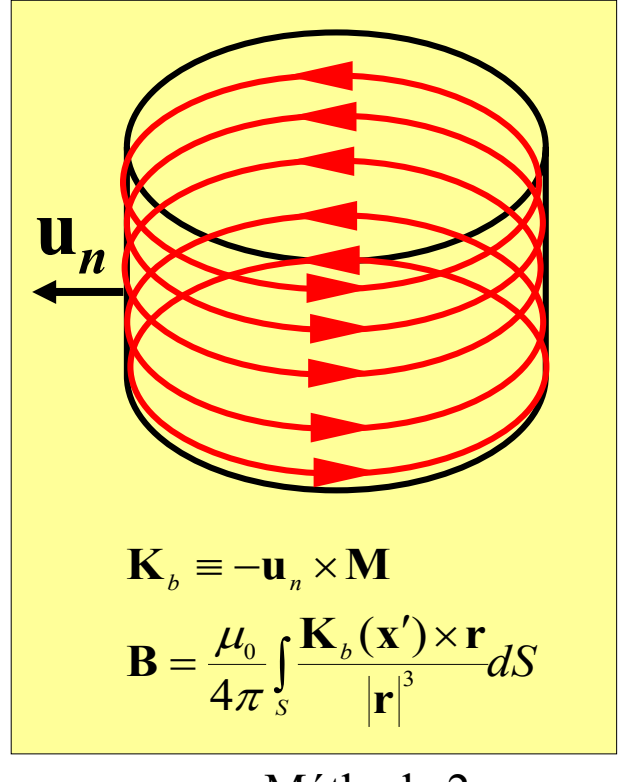
$$\mathbf{B} = \frac{\mu_{0}}{4\pi} \int_{S} \frac{\mathbf{K}_{b}(\mathbf{x}') \times \hat{\mathbf{r}}}{|\mathbf{r}|^{2}} dS$$

Exemple: cylindre uniformément magnétisé





Méthode 1



Méthode 2

Pour $z \gg R, L$ et $\mathbf{r} \cong (0, 0, z)$

$$\mathbf{B}(0,0,z) = \frac{\mu_0}{4\pi} \int_{V} \frac{3(\mathbf{M}(\mathbf{x}') \cdot \hat{\mathbf{r}}) \cdot \hat{\mathbf{r}} - \mathbf{M}(\mathbf{x}')}{|\mathbf{r}|^3} dV \cong \frac{\mu_0}{4\pi} \int_{V} \frac{2Mz^2 \hat{\mathbf{z}}}{|z|^5} dV \cong \frac{\mu_0}{2\pi} \frac{1}{z^3} M \pi R^2 L \hat{\mathbf{z}} = \frac{\mu_0}{2\pi} \frac{MR^2 L}{z^3} \hat{\mathbf{z}} = \frac{\mu_0}{2\pi} \frac{\mathbf{m}}{z^3}$$

$$\mathbf{B}(0,0,z) = \frac{\mu_0}{4\pi} \int_{S} \frac{\mathbf{K}_b(\mathbf{x}') \times \hat{\mathbf{r}}}{|\mathbf{r}|^2} dS \cong \frac{\mu_0 I_b R^2}{2z^3} = \frac{\mu_0}{2\pi} \frac{\mathbf{m}}{z^3}$$

Rappel sur «force» et «couple» sur le dipôle électrique e le dipôle magnétique

Les équations des **forces** et des **couples** sont toutes dérivée à partir de la **force de Lorentz** (la force électromagnétique)

$$\mathbf{F} = q\mathbf{E} + q\mathbf{v} \times \mathbf{B} \implies \begin{cases} \mathbf{F} = \int_{V} (\boldsymbol{\rho} \mathbf{E} + \mathbf{J} \times \mathbf{B}) dV & \mathbf{N} = \int_{V} (\mathbf{r} \times \boldsymbol{\rho} \mathbf{E} + \mathbf{r} \times (\mathbf{J} \times \mathbf{B})) dV \\ \mathbf{F} = \nabla(\mathbf{p} \cdot \mathbf{E}) & \mathbf{N} = \mathbf{p} \times \mathbf{E} \end{cases}$$

$$\mathbf{F} = \nabla(\mathbf{m} \cdot \mathbf{B}) & \mathbf{N} = \mathbf{m} \times \mathbf{B}$$

Note: (voir Z 96, Z 373, P 478, P 538, et slides precedentes)

L'expression "exacte" (i.e., toujours valable) de la force sur un dipole eléctrique est $\mathbf{F} = (\mathbf{p} \cdot \nabla) \mathbf{E}$ mais pour $\nabla \times \mathbf{E} = 0$ et \mathbf{p} independent de la position: $\mathbf{F} = (\mathbf{p} \cdot \nabla) \mathbf{E} = \nabla (\mathbf{p} \cdot \mathbf{E})$

L'expression "exacte" (i.e., toujours valable) de la force sur un dipole magnétique est $\mathbf{F} = m_k \nabla B_k$ mais pour **m** independent de la position: $\mathbf{F} = m_k \nabla B_k = \nabla (\mathbf{m} \cdot \mathbf{B})$

pour **m** independent de la position et $\nabla \times \mathbf{B} = 0$: $\mathbf{F} = m_k \nabla B_k = \nabla (\mathbf{m} \cdot \mathbf{B}) = (\mathbf{m} \cdot \nabla) \mathbf{B}$

Force sur un objet magnétique dans un champ B

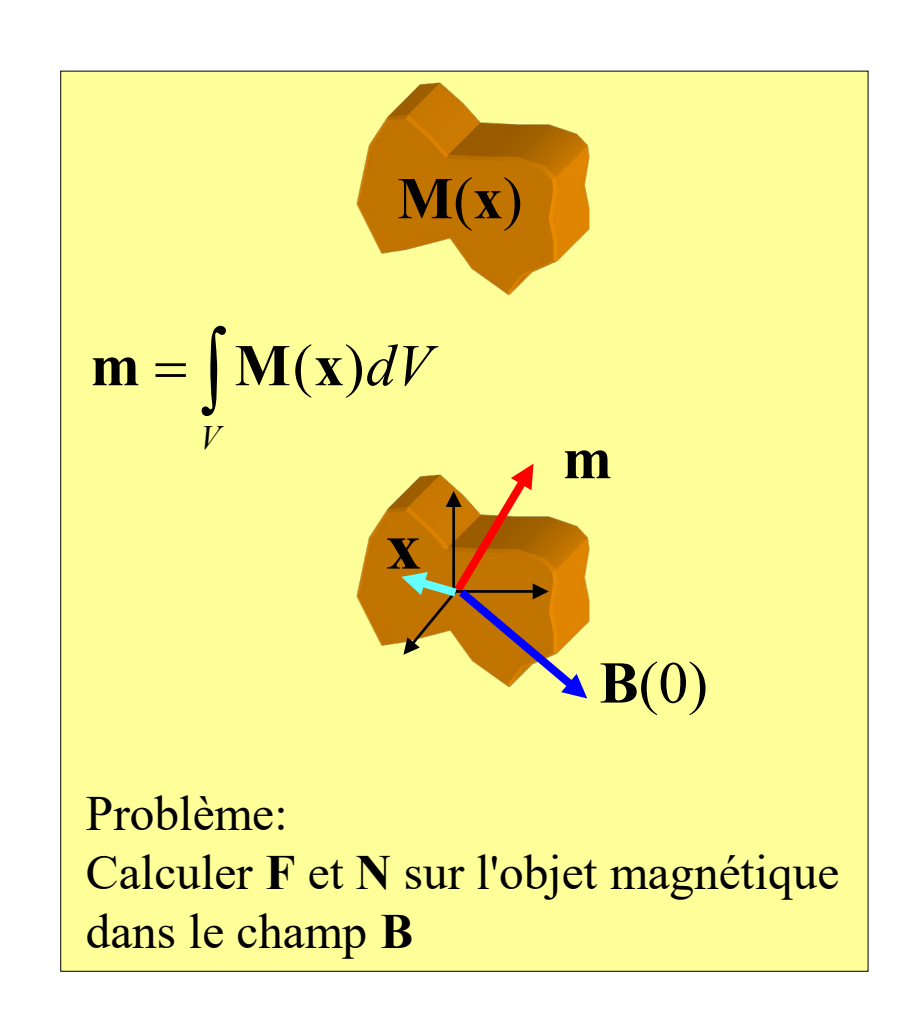
Si **B** ne varie pas trop vite sur le volume de objet magnétique:

$$B_i(\mathbf{x}) = B_i(0) + \mathbf{x} \cdot \nabla B_i(0) \quad (i = x, y, z)$$

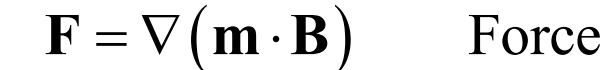
où **B** (x) est le champ appliqué de l'extérieur

Avec cette hypothèse, nous pouvons démontrer que:

$$\mathbf{F} = \nabla (\mathbf{m} \cdot \mathbf{B})$$
 Force
 $\mathbf{N} = \mathbf{m} \times \mathbf{B}$ Couple
 $U_B = -\mathbf{m} \cdot \mathbf{B}$ Energie potentielle

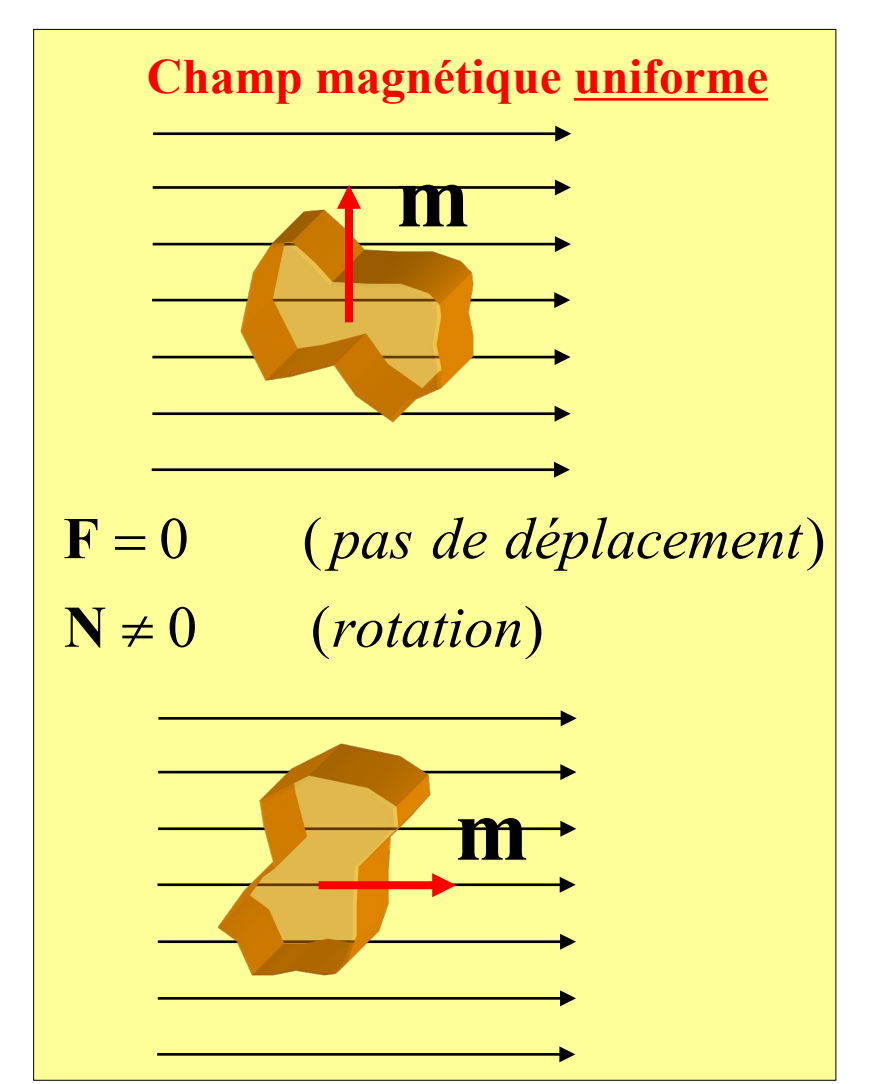


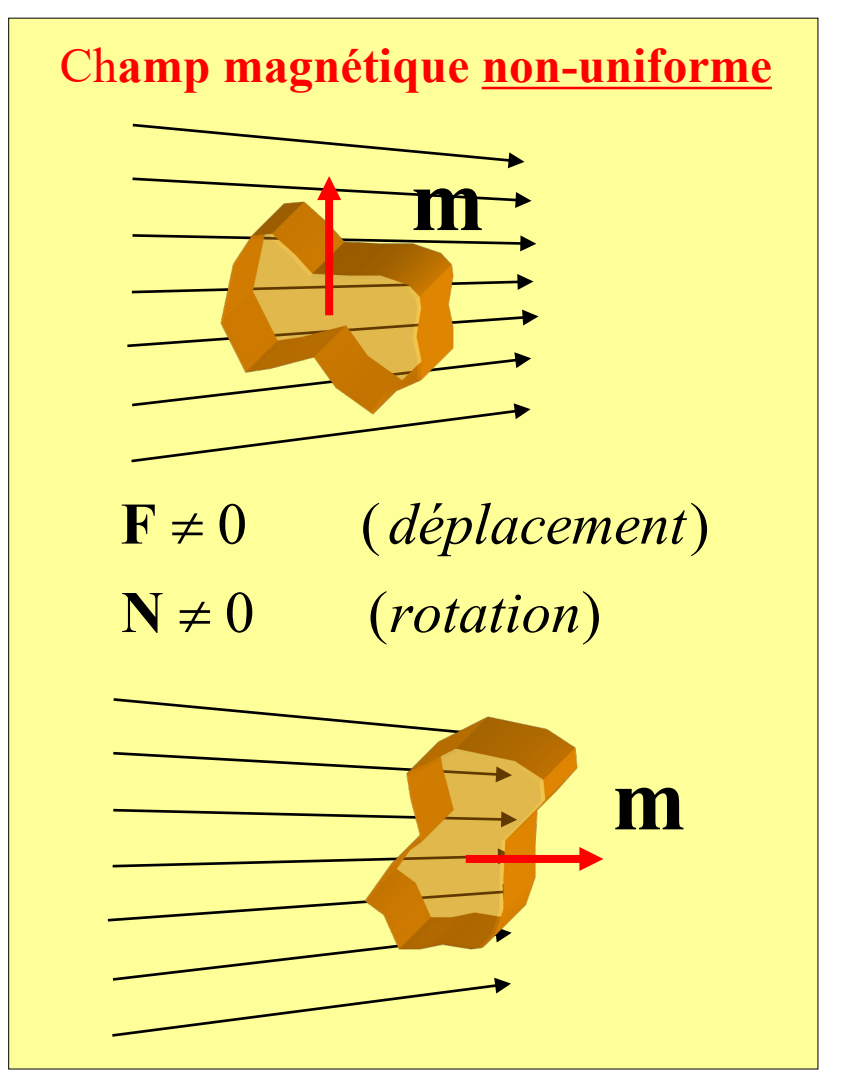
EPFL



 $N = m \times B$

Couple





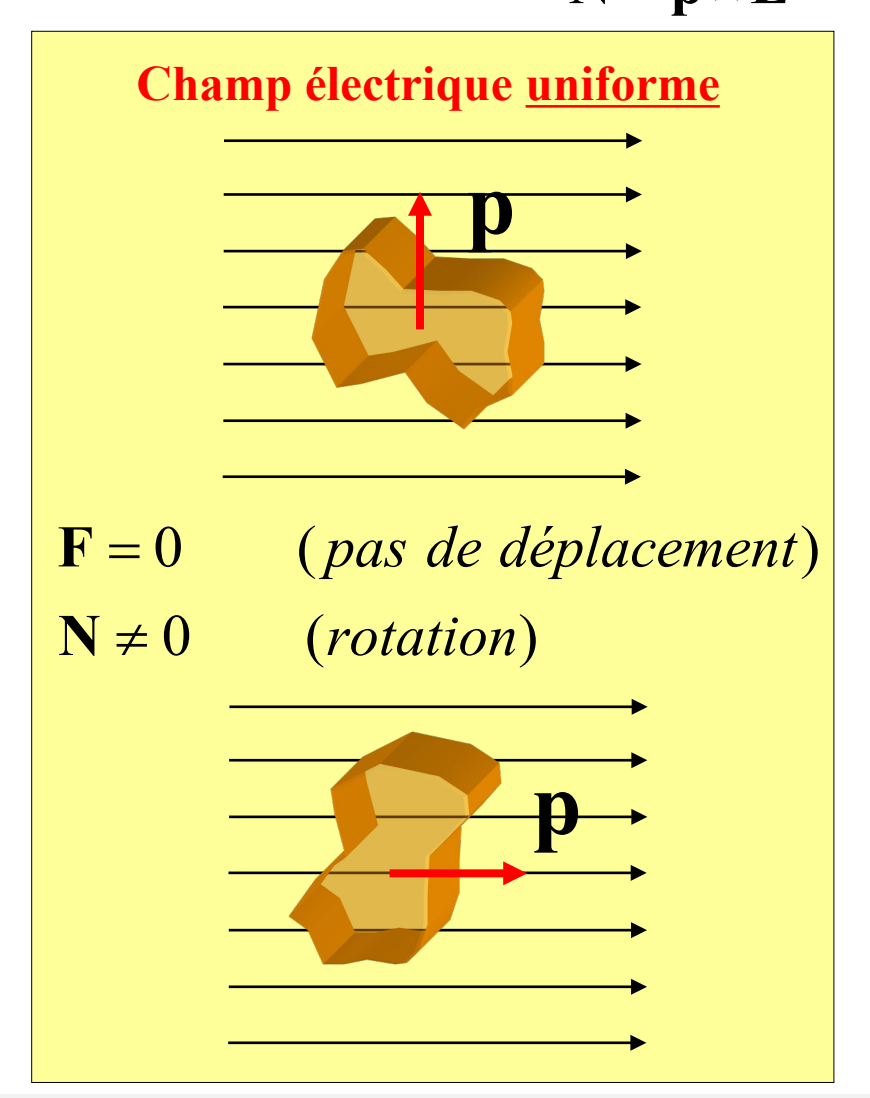
EPFL

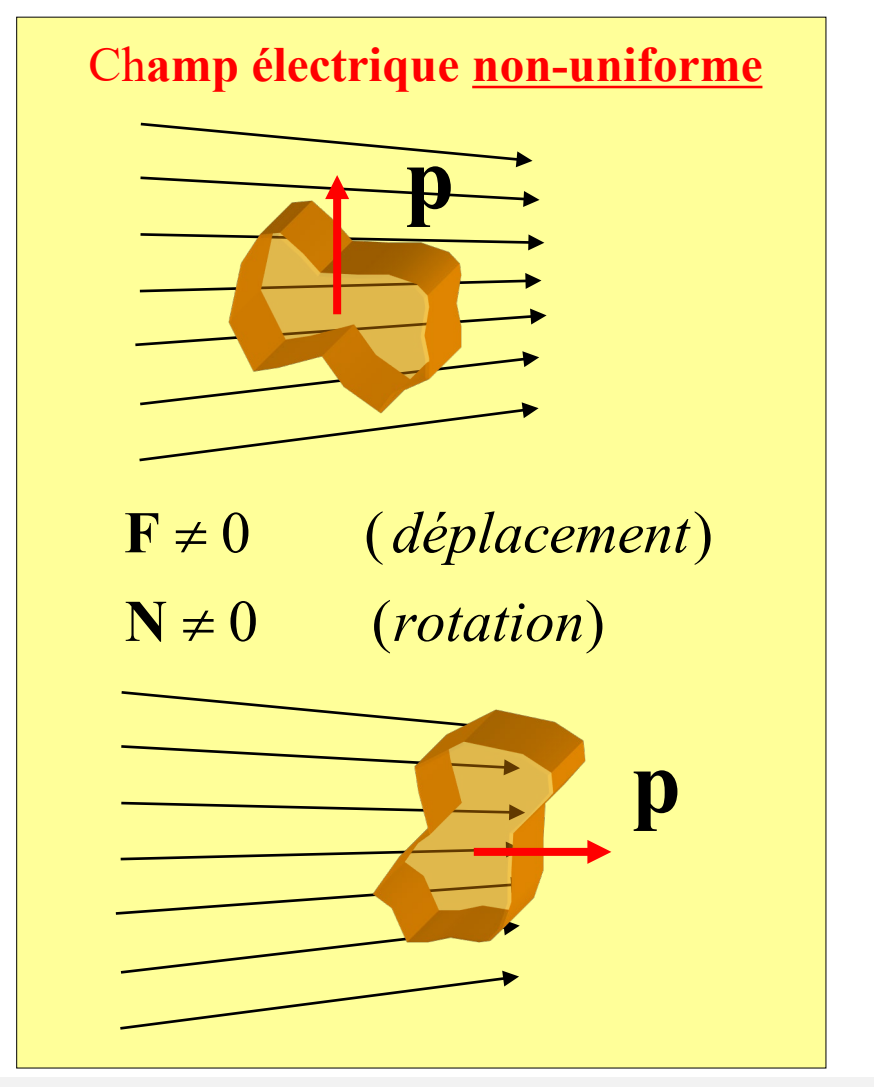
$$\mathbf{F} = \nabla \left(\mathbf{p} \cdot \mathbf{E} \right)$$

Force

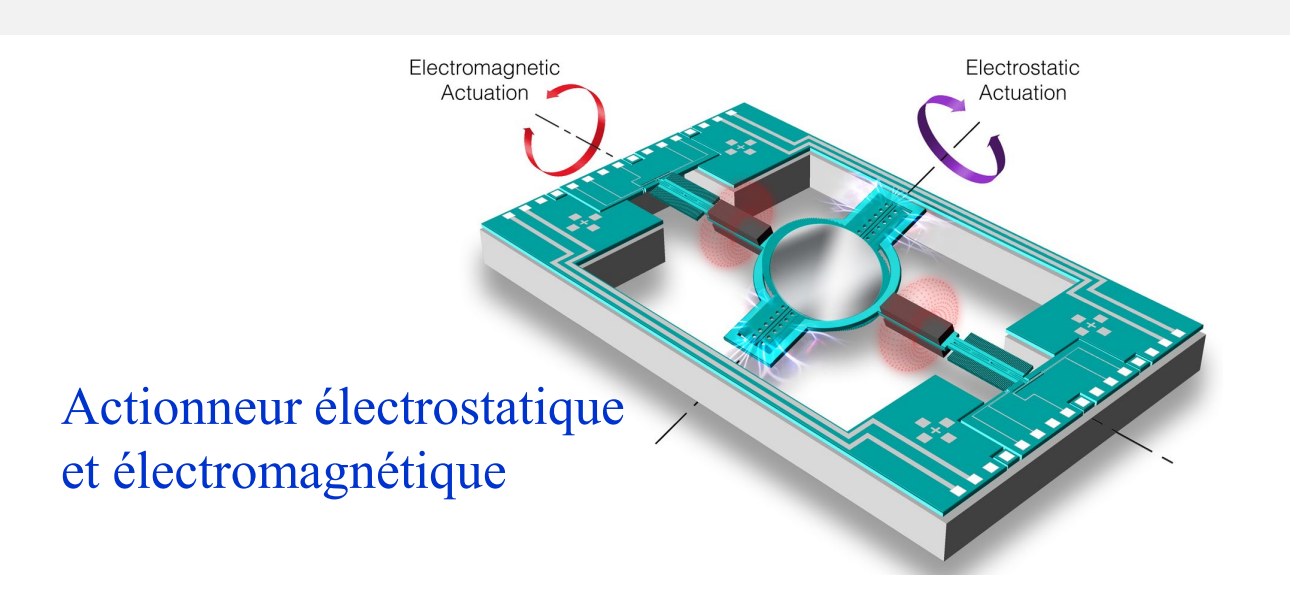
 $\mathbf{N} = \mathbf{p} \times \mathbf{E}$

Couple



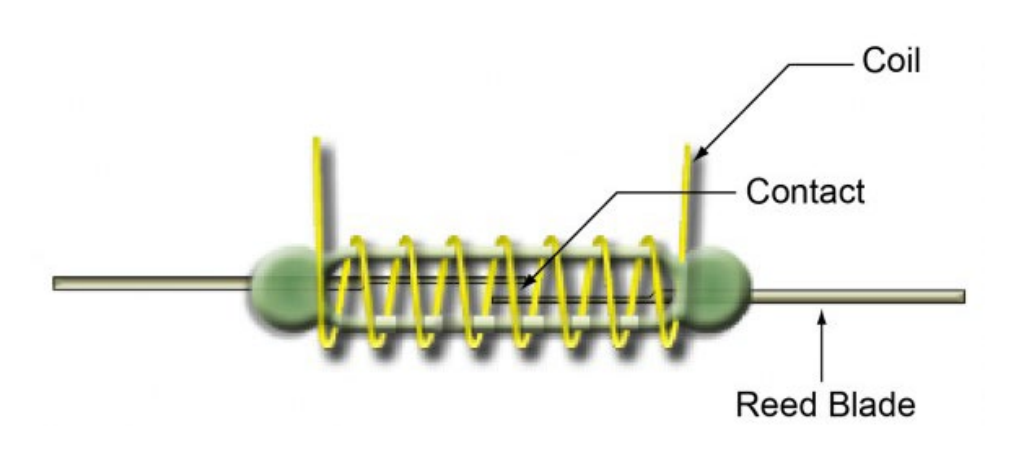


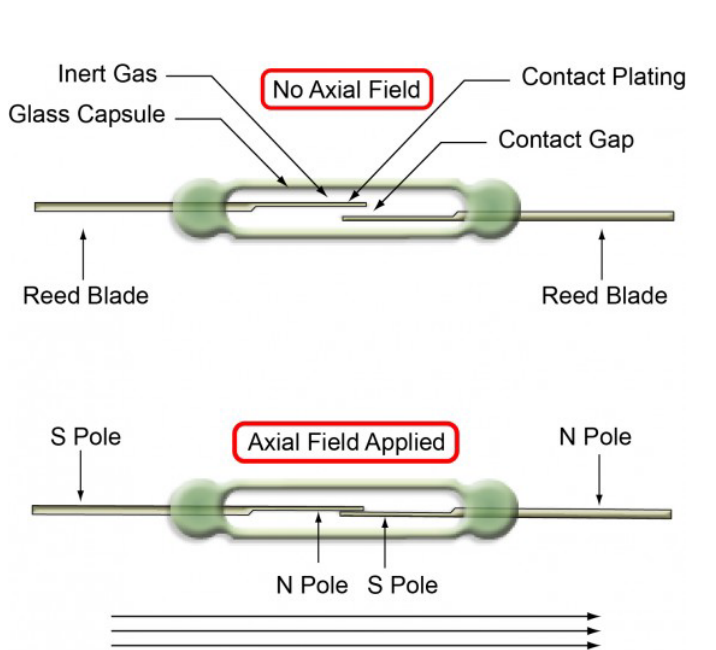
Applications «microtechnique» des forces et couples électro/magnéto statiques



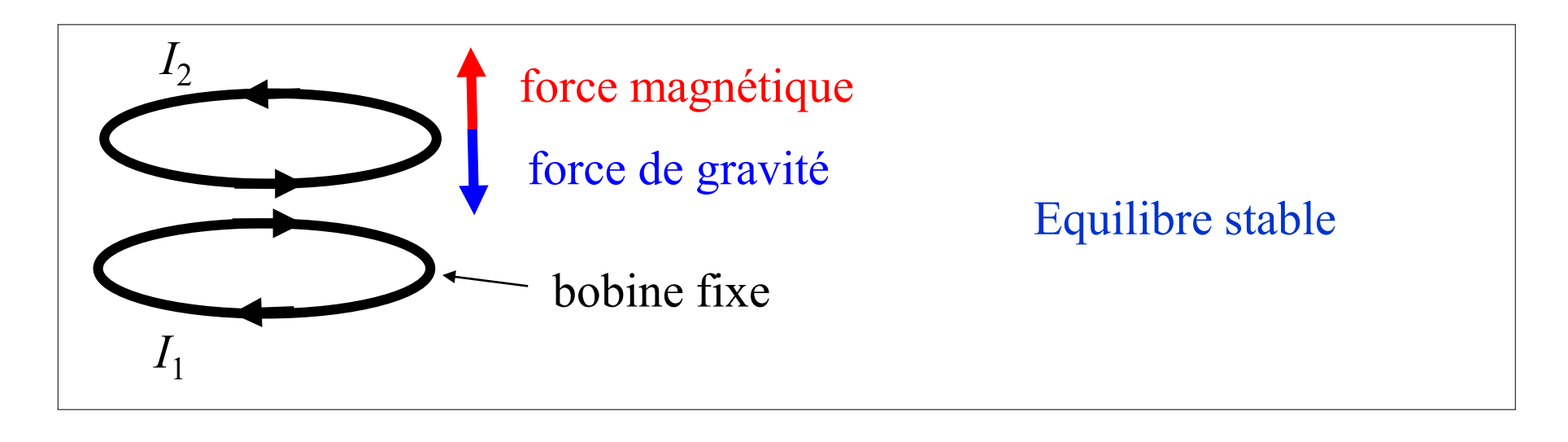


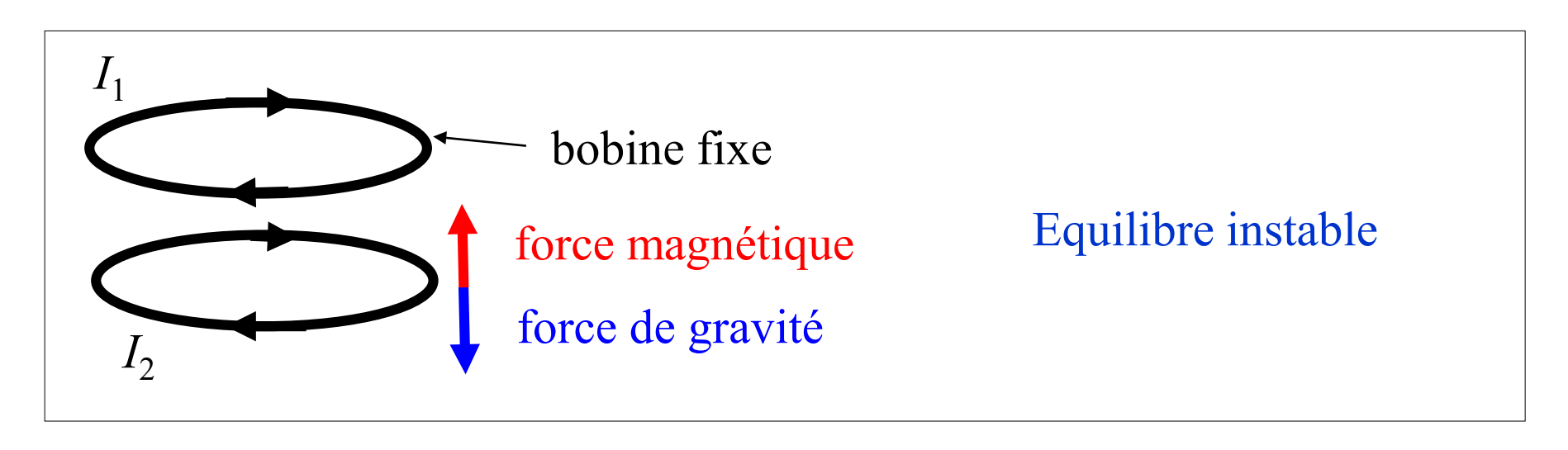
Actionneur magnétostatique





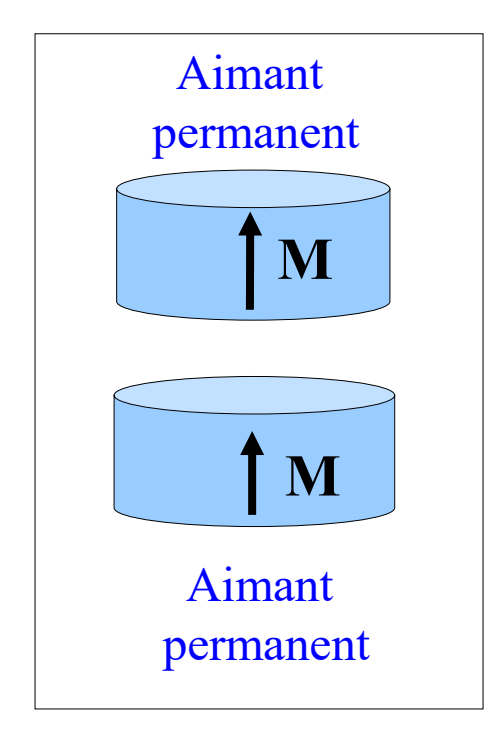
Lévitation magnétique d'une boucle avec courant



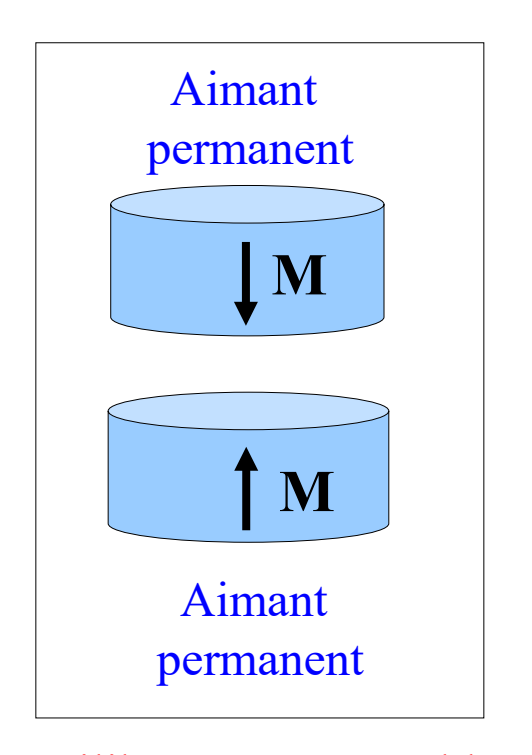




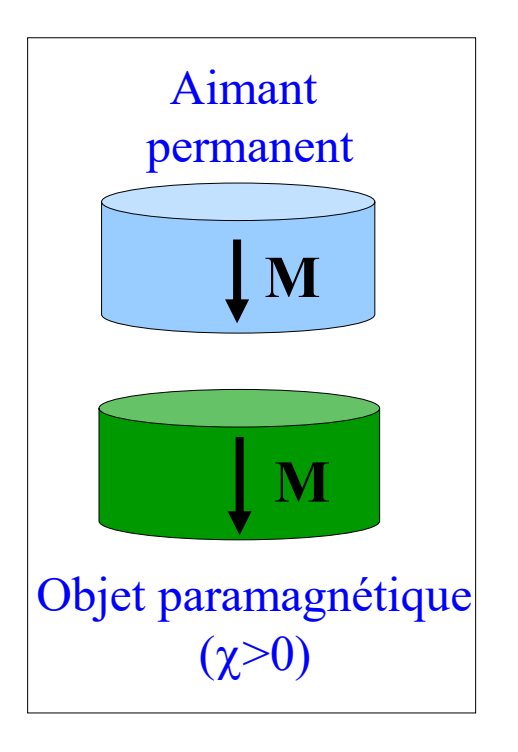
Levitation magnétique



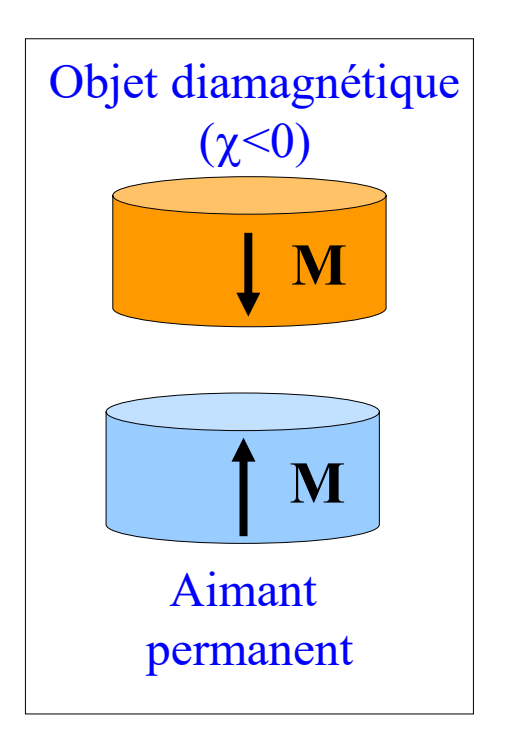
Non-équilibre



Equilibre «presque stable» (rotation)



Non-équilibre



Equilibre «presque stable» (rotation)

Levitation (et propulsion) magnétique

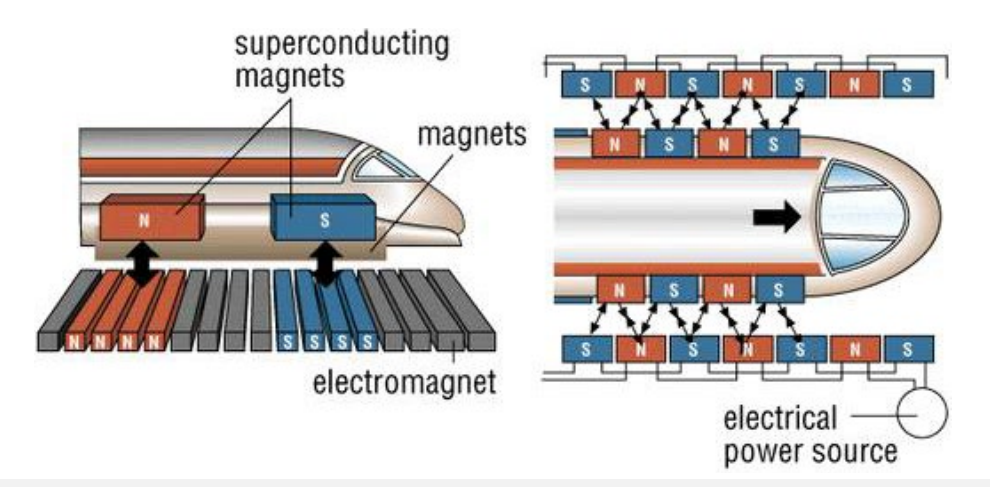


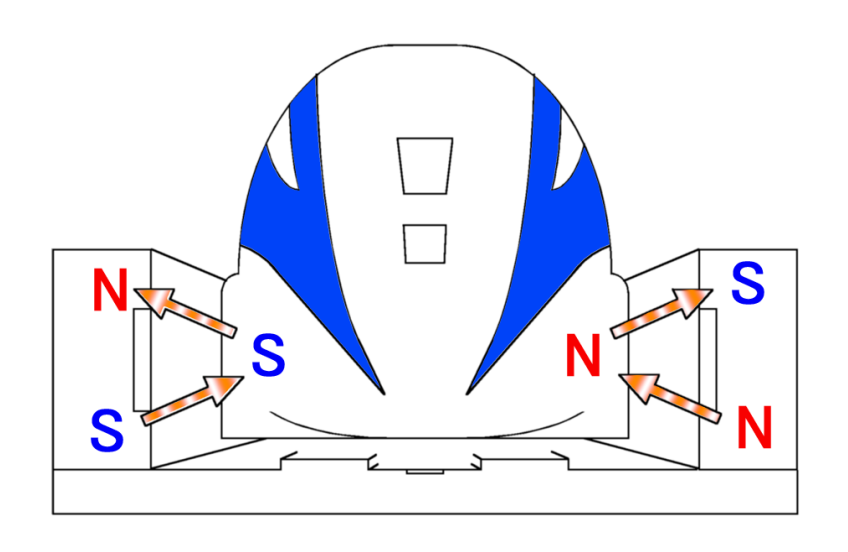
Maglev Train, Shanghai, China

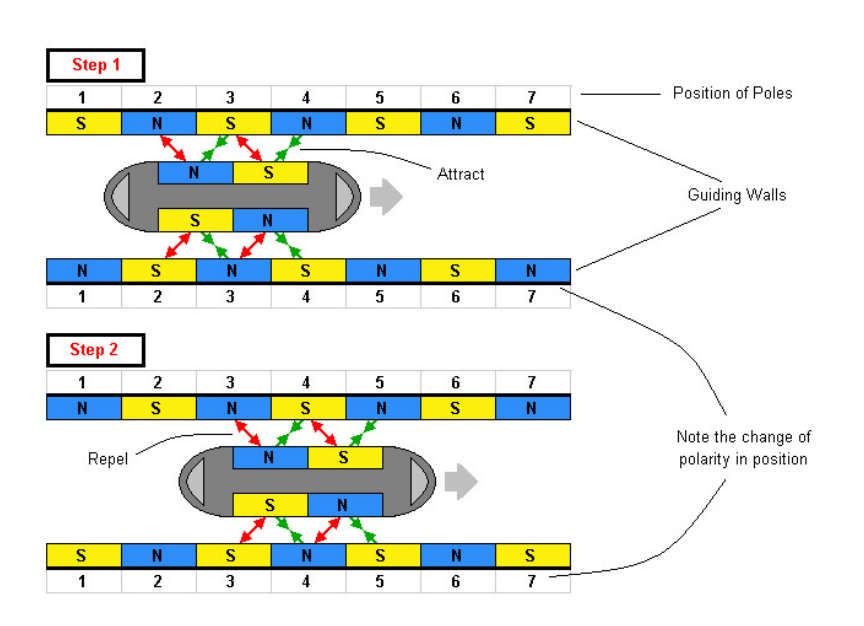
Opening: 2004

Speed: 430 km/h (operational), 501 km/h (max), Length: 153 m, Width: 3.7 metres, Height: 4.2 m

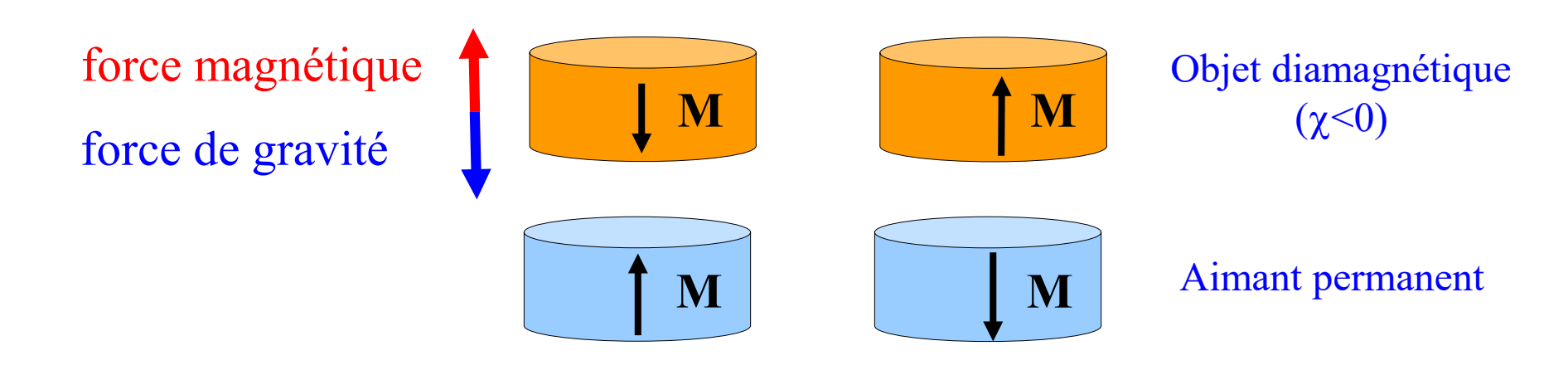
Passengers: 574







Lévitation d'un objet diamagnétique



Energie potentielle

$$U_{\scriptscriptstyle B}\cong -\mathbf{m}\cdot\mathbf{B}$$

$$U_{G} \cong mgh$$

Force

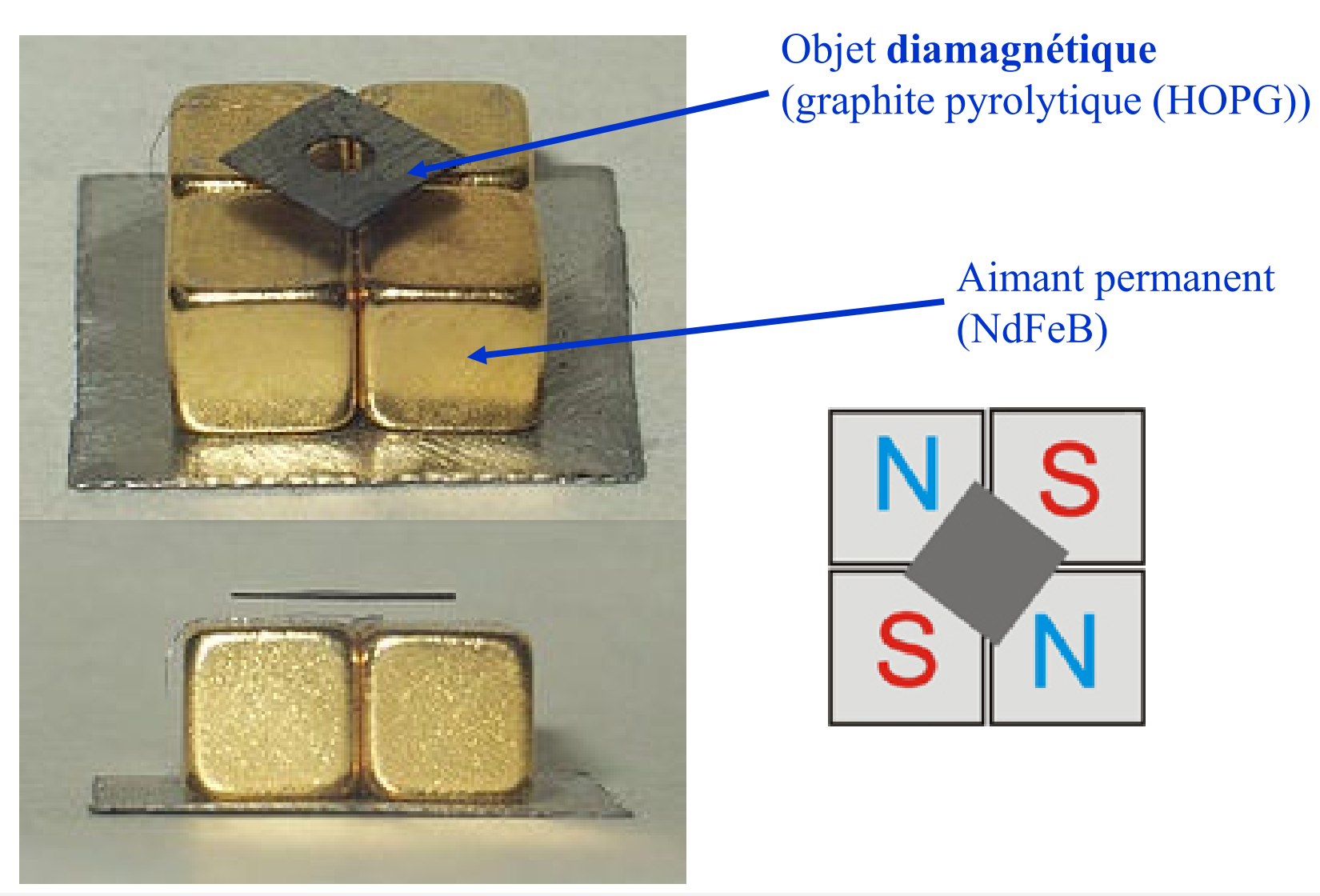
$$\mathbf{F}_{\scriptscriptstyle B} = -\nabla U_{\scriptscriptstyle B} \cong \nabla(\mathbf{m} \cdot \mathbf{B})$$

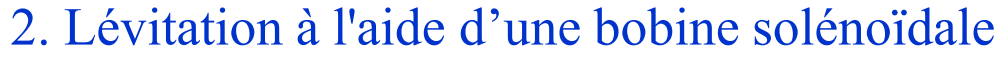
$$\mathbf{F}_{G} = -\nabla U_{G} = m\mathbf{g}$$

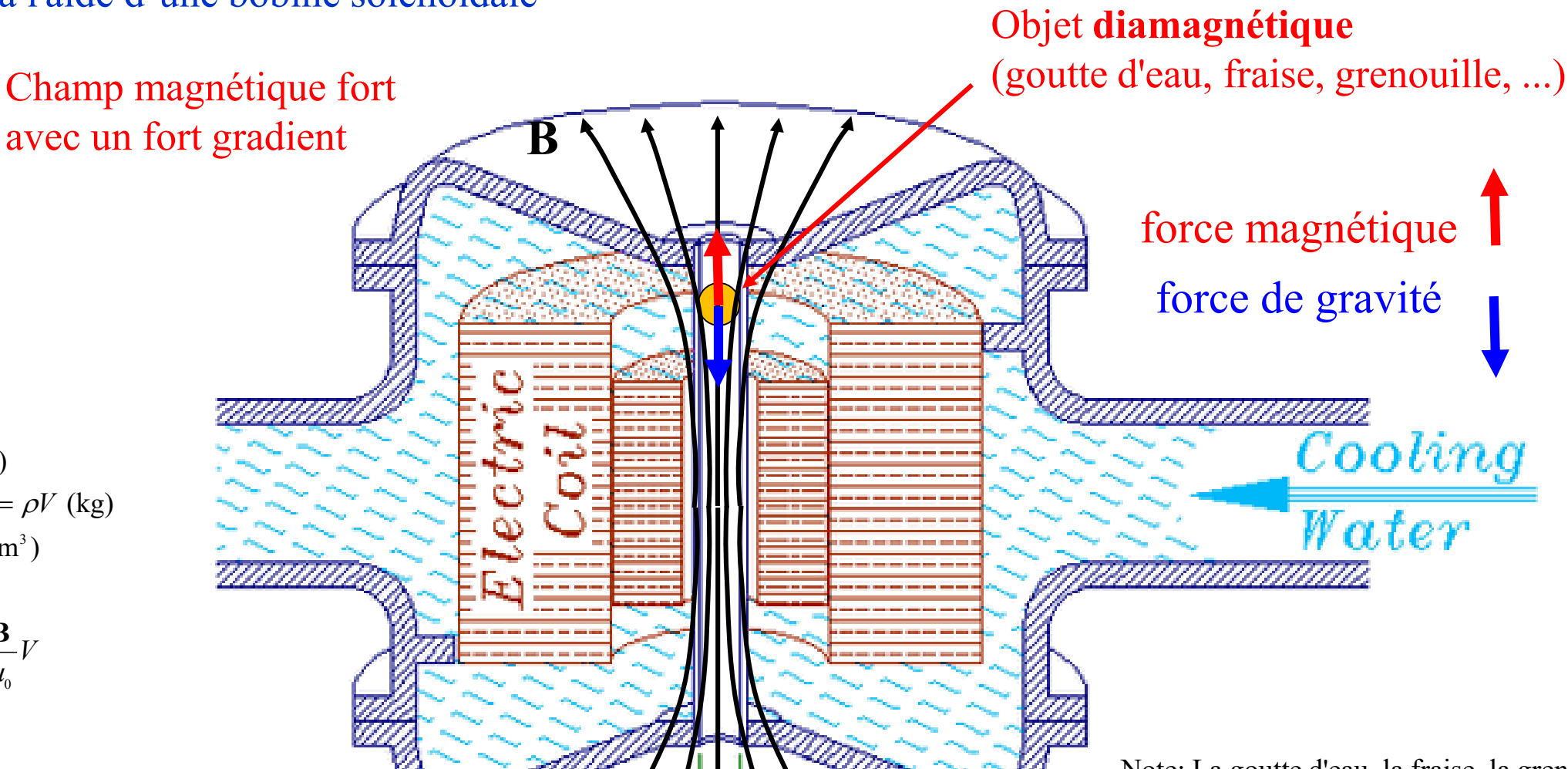
Position

$$\mathbf{F}_{B} + \mathbf{F}_{G} = 0$$

1. Lévitation à l'aide d'aimants permanents







V: volume de l'objet (m³)

m: masse de l'objet $m = \rho V$ (kg)

 ρ : densitè de l'objet (kg/m³)

$$\mathbf{F}_{\scriptscriptstyle R} = \nabla(\mathbf{m} \cdot \mathbf{B})$$

$$\mathbf{m} \cong \mathbf{M}V \cong \chi_{\scriptscriptstyle m} \mathbf{H}V \cong \chi_{\scriptscriptstyle m} \frac{\mathbf{B}}{\mu_{\scriptscriptstyle 0}}V$$

$$\mathbf{F}_{G} = m\mathbf{g}$$

 \Rightarrow

$$\mathbf{F}_{G} = \mathbf{F}_{B} \iff m\mathbf{g} = \nabla(\mathbf{m} \cdot \mathbf{B}) \Leftrightarrow$$

$$\rho Vg = \chi_m \frac{B}{\mu_0} V \nabla B \Leftrightarrow \rho g = \chi_m \frac{B}{\mu_0} \nabla B$$

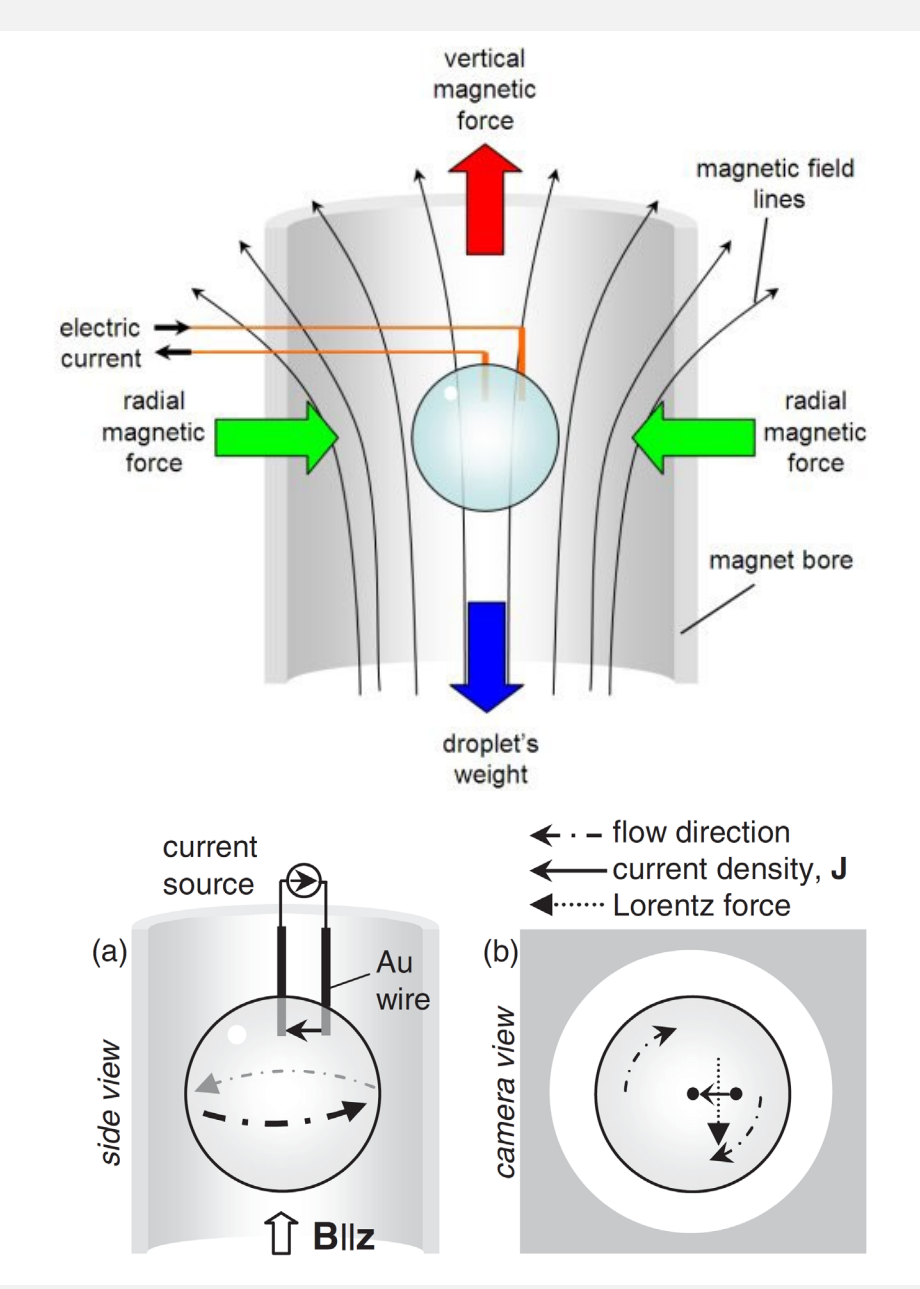
Note: La goutte d'eau, la fraise, la grenouille sont des objets diamagnétiques car ils contiennent des molécules d'eau qui sont diamagnétiques.

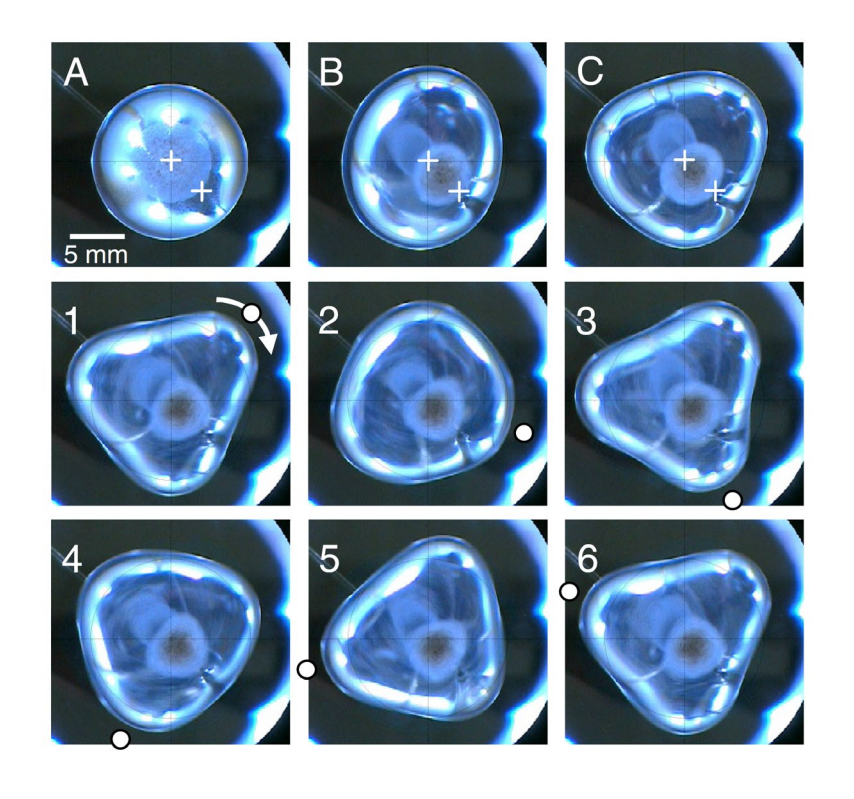






Lévitation et rotation d'un objet diamagnétique conducteur



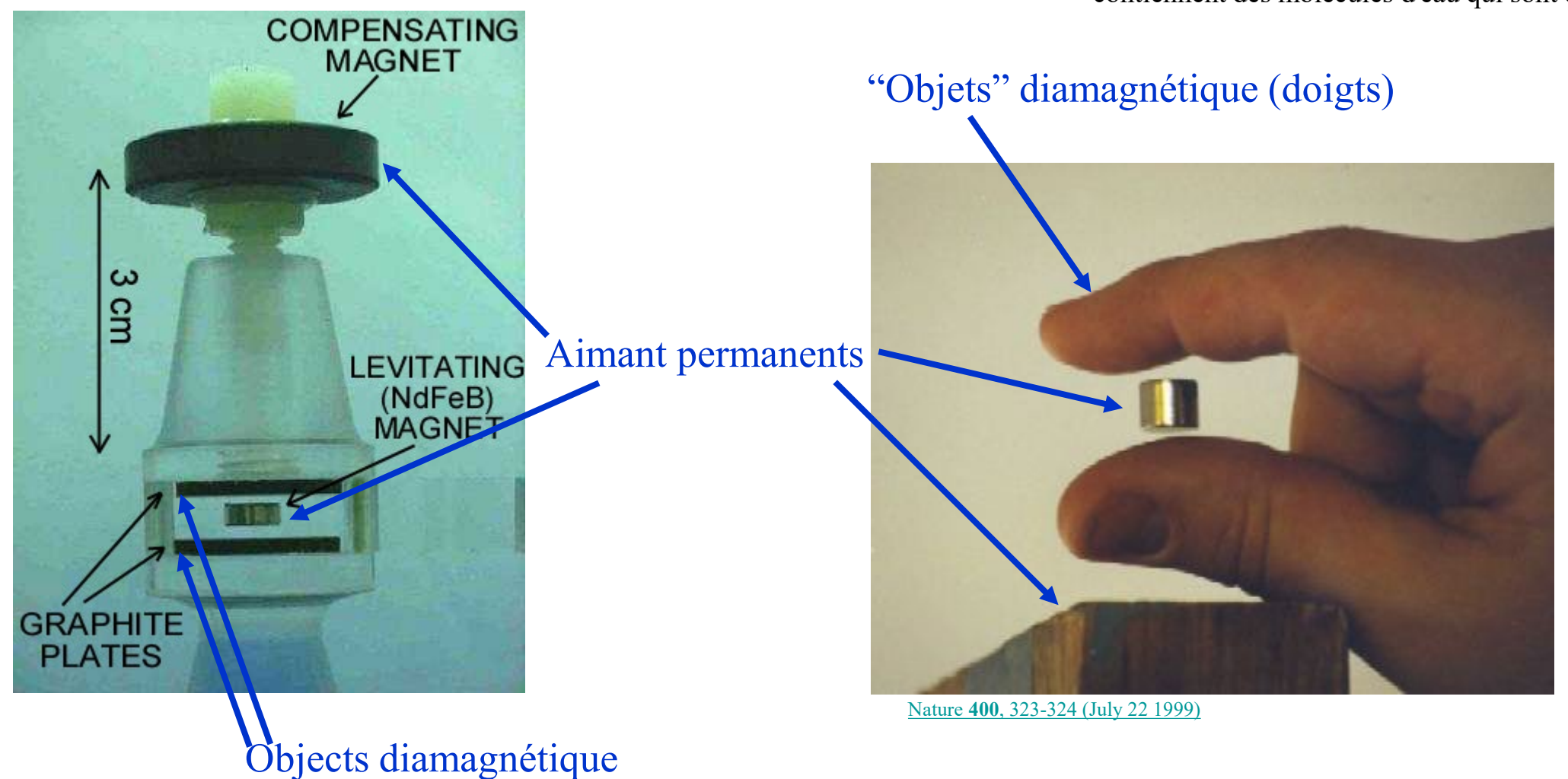


- A 1,5 ml de gouttelettes en lévitation.
- (A) Non tournant.
- (B) Liquide tournant à 2 rps (goutelettes ont un contour elliptique).
- (C) Liquide tournant à 2,5 rps: l'équateur a la symetrie d'un triangle équilatéral. En
- (B), (C) le contour est pas tournant avec le fluide. Les croix indiquent les positions des électrodes.
- (1)-(6) images vidéo consécutives, 40 ms d'intervalle; ici la forme triangulaire du contour est en rotation avec le fluide dans la direction de la flèche à
- 3.33 rps. Les cercles blancs suivent un coin.

Lévitation d'un objet ferromagnétique

(stabilisé par un matériau diamagnétique)

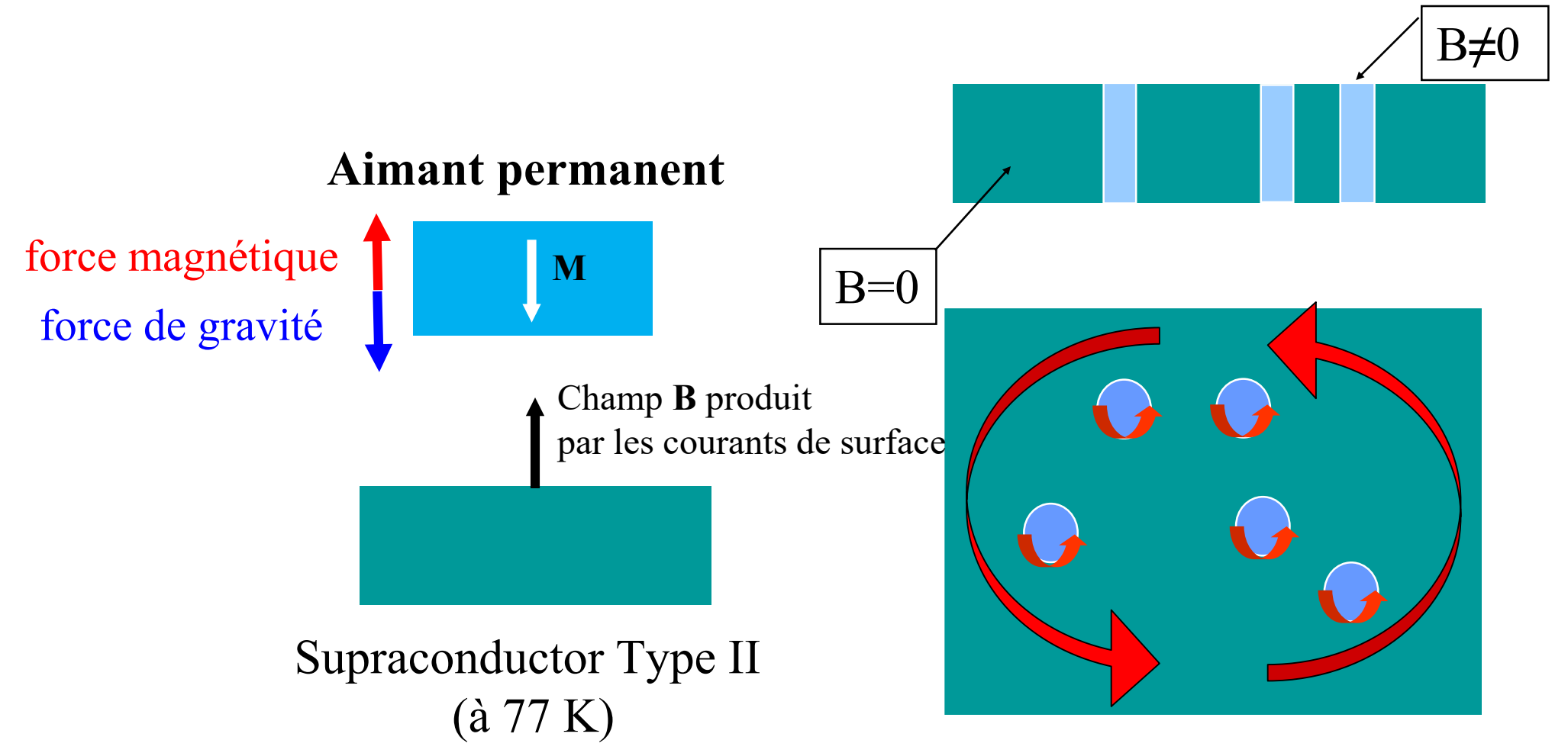
Note: Les doigts sont des objets diamagnétiques car ils contiennent des molécules d'eau qui sont diamagnétiques.



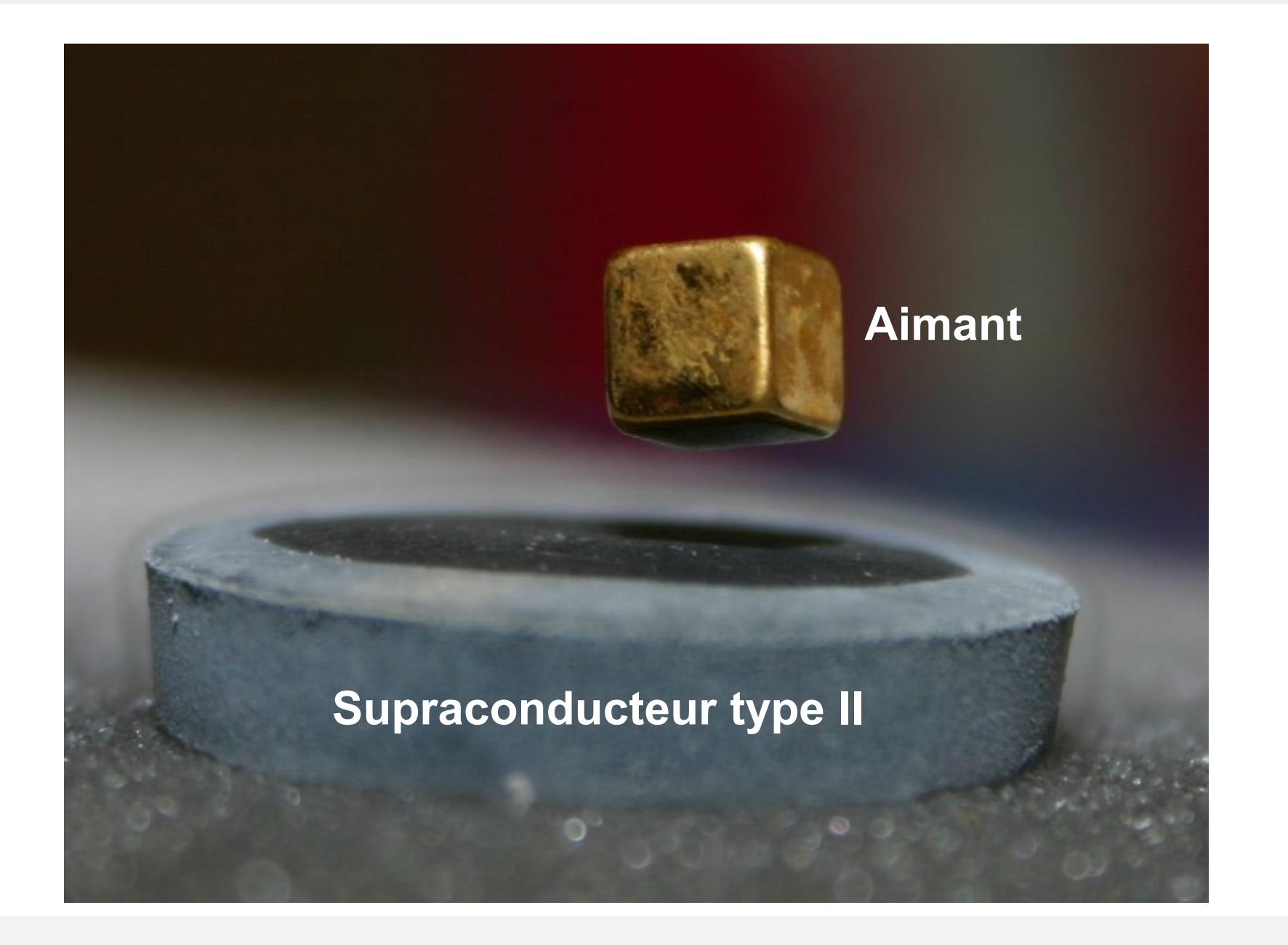
http://www.hfml.sci.kun.nl/levitate.html

Lévitation d'un objet ferromagnétique

(stabilisé par un supraconducteur de type II)



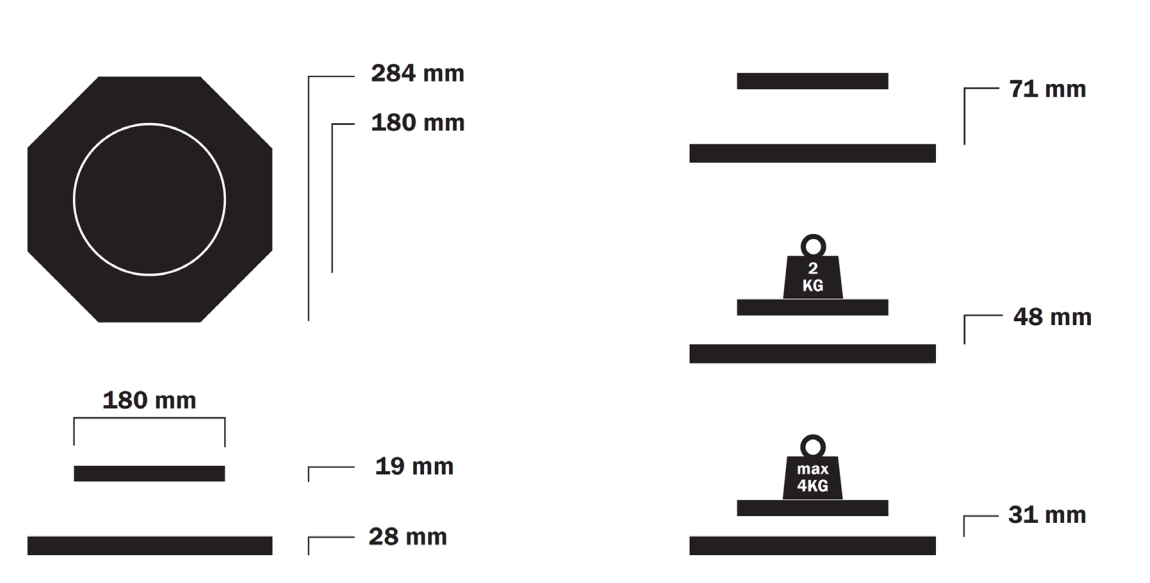
- Le champ B pénètre seulement dans les «tourbillons»
- Les courants de surface annulant le champ externe
- à l'intérieur du matériau (sauf dans les «tourbillons»)



Lévitation d'un objet ferromagnétique

(stabilisé par des bobines avec courant)



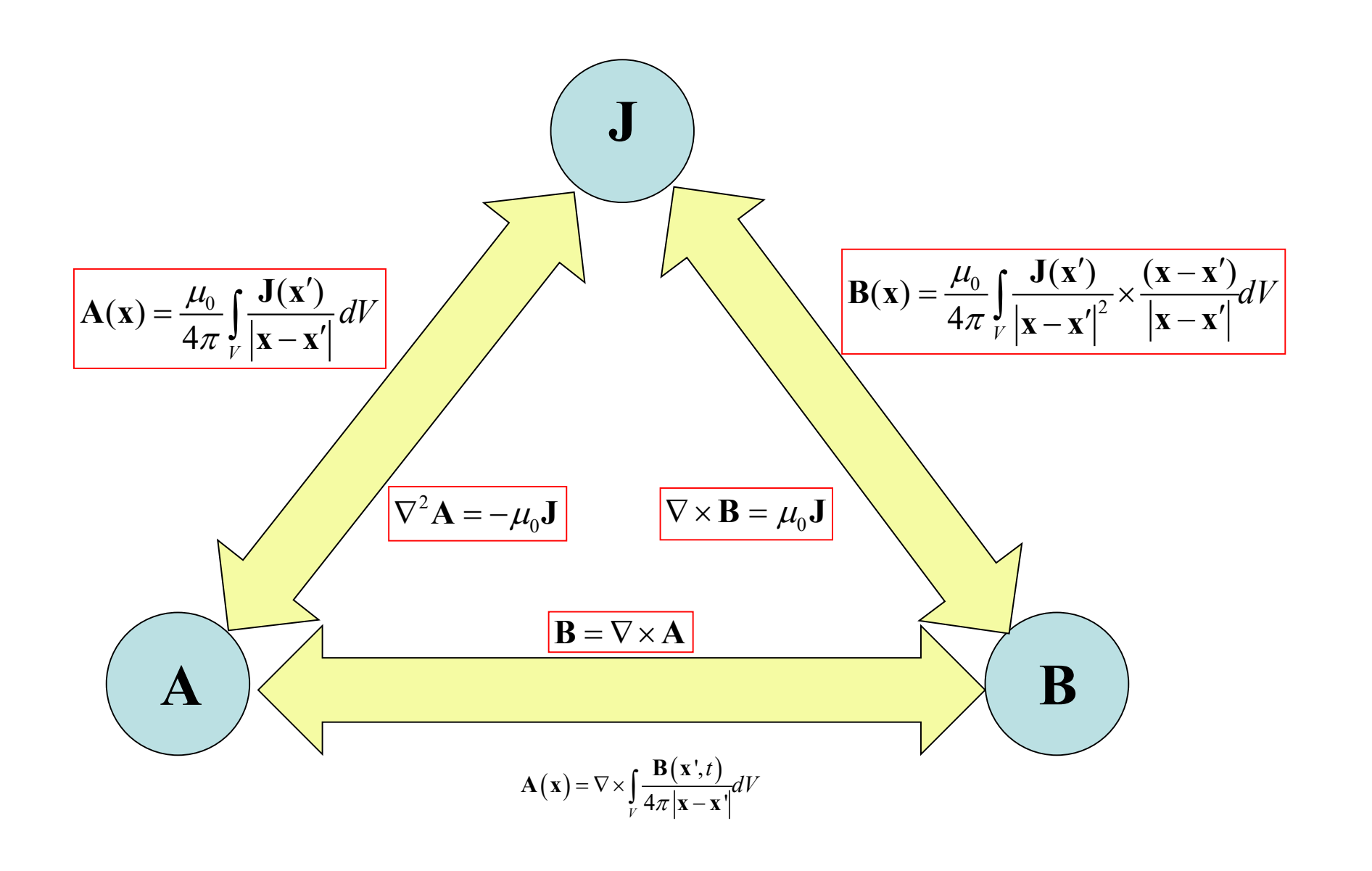






http://www.crealev.com/

Résumé de la magnétostatique



Analogies et différences électrostatique-magnétostatique

Champ électrique créé par une distribution de charges statiques

$$\mathbf{E}(\mathbf{x}) = \frac{1}{4\pi\varepsilon_0} \int_{V} \rho(\mathbf{x}') \frac{1}{|\mathbf{x} - \mathbf{x}'|^2} \frac{\mathbf{x} - \mathbf{x}'}{|\mathbf{x} - \mathbf{x}'|} dV$$
$$= \frac{1}{4\pi\varepsilon_0} \int_{V} \rho(\mathbf{x}') \frac{1}{r^2} \hat{\mathbf{r}} dV$$

$$d\mathbf{E}(\mathbf{x}) = \frac{1}{4\pi\varepsilon_0} \frac{\rho(\mathbf{x'})}{|\mathbf{x} - \mathbf{x'}|^2} \frac{\mathbf{x} - \mathbf{x'}}{|\mathbf{x} - \mathbf{x'}|} dV$$
$$= \frac{1}{4\pi\varepsilon_0} \frac{\rho dV}{r^2} \mathbf{r}$$

Champ **magnétique** créé par une distribution de courants stationnaires

$$\mathbf{E}(\mathbf{x}) = \frac{1}{4\pi\varepsilon_0} \int_{V} \rho(\mathbf{x}') \frac{1}{|\mathbf{x} - \mathbf{x}'|^2} \frac{\mathbf{x} - \mathbf{x}'}{|\mathbf{x} - \mathbf{x}'|} dV$$

$$= \frac{1}{4\pi\varepsilon_0} \int_{V} \rho(\mathbf{x}') \frac{1}{r^2} \hat{\mathbf{r}} dV$$

$$\mathbf{B}(\mathbf{x}) = \frac{\mu_0}{4\pi} \int_{V} \mathbf{J}(\mathbf{x}') \times \frac{1}{|\mathbf{x} - \mathbf{x}'|^2} \frac{\mathbf{x} - \mathbf{x}'}{|\mathbf{x} - \mathbf{x}'|} dV$$

$$= \frac{\mu_0}{4\pi} \int_{V} \mathbf{J}(\mathbf{x}') \times \frac{1}{r^2} \hat{\mathbf{r}} dV$$

$$d\mathbf{B}(\mathbf{x}) = \frac{\mu_0}{4\pi} \frac{\mathbf{J}(\mathbf{x}')}{|\mathbf{x} - \mathbf{x}'|^2} \times \frac{\mathbf{x} - \mathbf{x}'}{|\mathbf{x} - \mathbf{x}'|} dV$$
$$= \frac{\mu_0}{4\pi} \frac{Idl}{r^2} \hat{\mathbf{t}} \times \hat{\mathbf{r}}$$

$$\mathbf{r} = \mathbf{x} - \mathbf{x}'$$

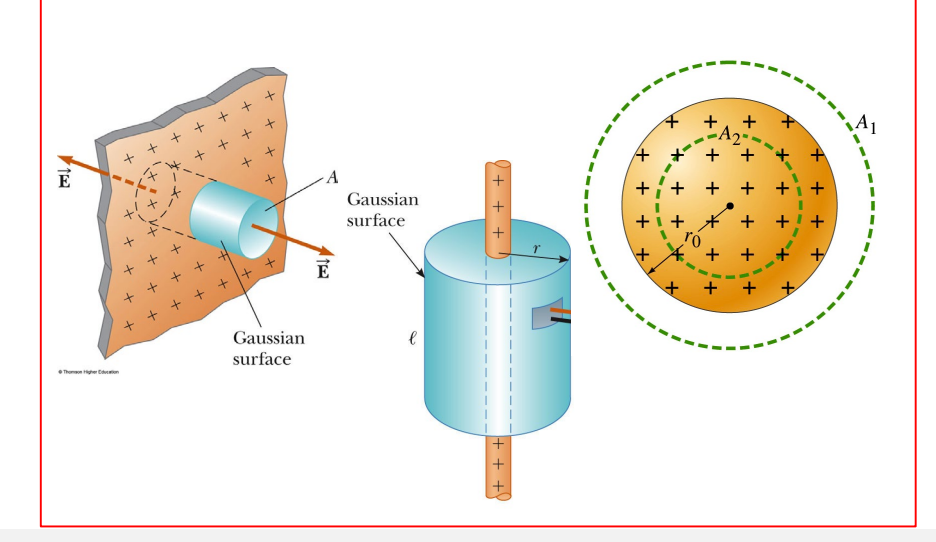
$$\hat{\mathbf{r}} = \frac{\mathbf{r}}{|\mathbf{r}|} = \frac{\mathbf{r}}{r}$$

Champ E créé par une distribution de charges statiques

Pour les problèmes avec «symétries» ont utilise aussi:

$$\oint_{S} \mathbf{E} \cdot d\mathbf{s} = \frac{1}{\varepsilon_{0}} \oint_{V} \rho dV$$
(Loi de Gauss)

Intégrale de surface

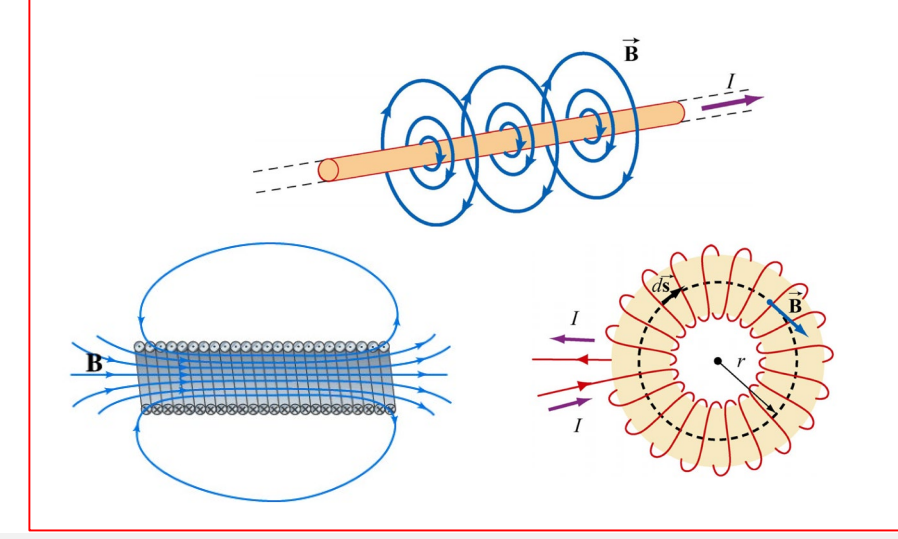


Champ B créé par une distribution de courants stationnaires

Pour les problèmes avec «symétries» on utilise aussi:

$$\oint_C \mathbf{B} \cdot d\mathbf{l} = \mu_0 \int_S \mathbf{J} \cdot d\mathbf{s}$$
(Loi d'Ampére)

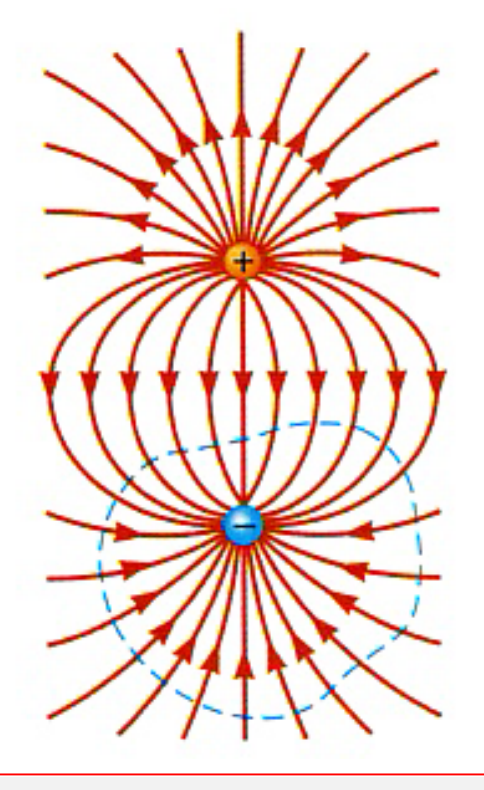
Intégrale de ligne



Le flux du champ électrique

$$\oint_{S} \mathbf{E} \cdot d\mathbf{s} = \int_{V} \frac{\rho}{\varepsilon_{0}} dV$$

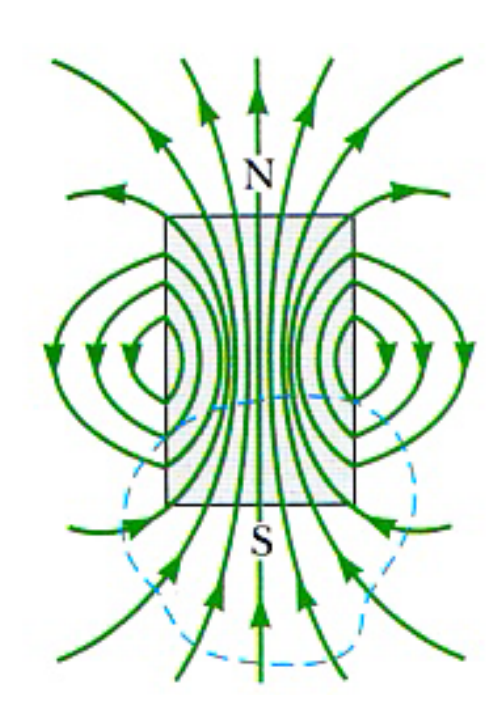
$$\nabla \cdot \mathbf{E} = \frac{\rho}{\varepsilon_0}$$



Le flux du champ magnétique

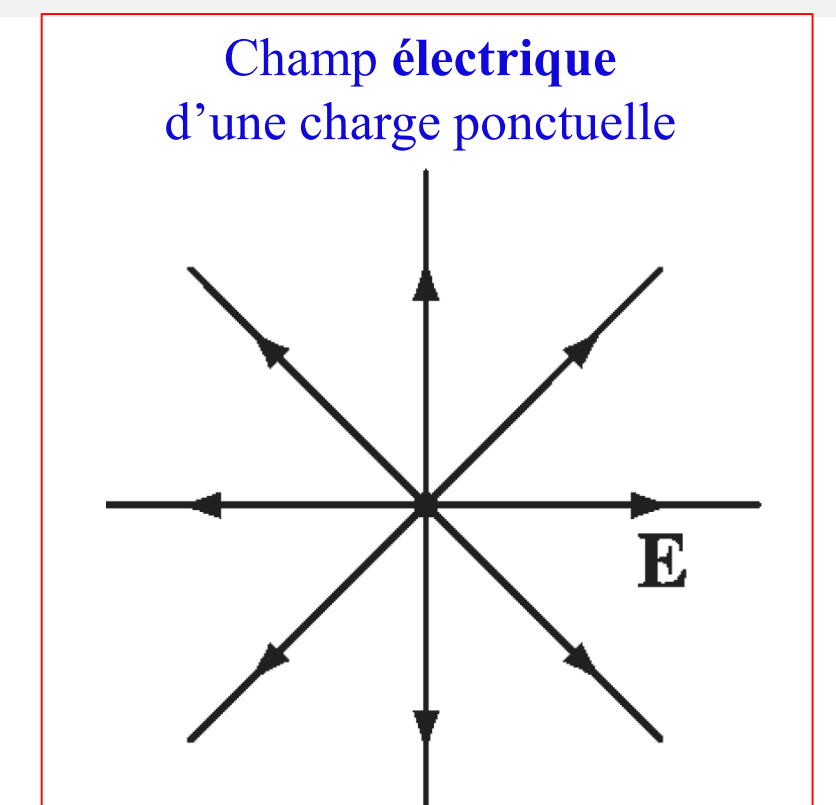
$$\oint_{S} \mathbf{B} \cdot d\mathbf{s} = 0$$

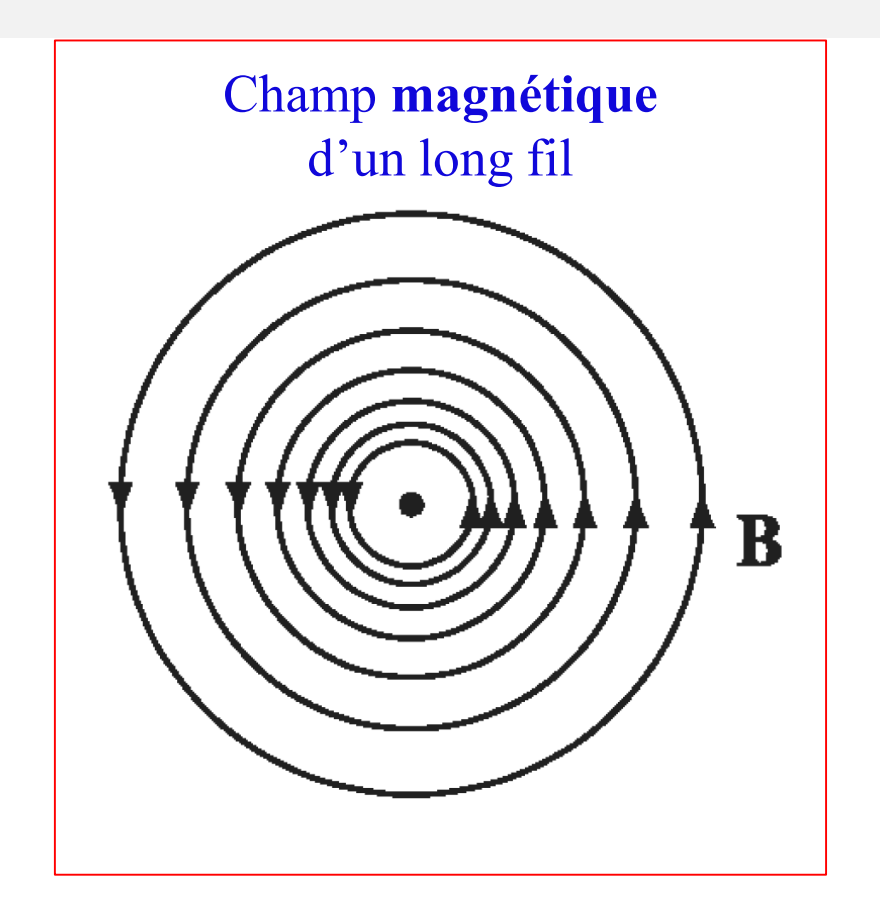
$$\nabla \cdot \mathbf{B} = 0$$



Interprétation:

Absence de "charges magnétiques" (monopoles) Les lignes du champ **B** sont toujours fermées (pas de sources ni de puits)





Densité d'énergie électrostatique

$$u_E = \frac{1}{2} \mathbf{E} \cdot \mathbf{D}$$

Densité d'énergie magnétostatique

$$u_B = \frac{1}{2} \mathbf{B} \cdot \mathbf{H}$$

Le potentiel scalaire électrostatique

$$\mathbf{E} = -\nabla V$$

$$V(\mathbf{x}) = \frac{1}{4\pi\varepsilon_0} \int_{V} \frac{\rho(\mathbf{x}')}{|\mathbf{x} - \mathbf{x}'|} dV$$

$$\nabla^2 V = -\frac{\rho}{\varepsilon_0}$$

$$\nabla \cdot \mathbf{E} = \frac{\rho}{\varepsilon_0} \Rightarrow \nabla \cdot \mathbf{E} = \nabla \cdot (-\nabla V) = -\nabla^2 V \quad \Rightarrow$$

$$\nabla^2 V = -\frac{\rho}{\varepsilon_0}$$

Le potentiel vecteur magnétostatique

$$\mathbf{B} = \nabla \times \mathbf{A}$$

$$\mathbf{A}(\mathbf{x}) = \frac{\mu_0}{4\pi} \int_{V} \frac{\mathbf{J}(\mathbf{x}')}{|\mathbf{x} - \mathbf{x}'|} dV$$

$$\nabla^2 \mathbf{A} = -\mu_0 \mathbf{J}$$

$$\nabla \times \mathbf{B} = \mu_0 \mathbf{J}$$

$$\mathbf{B} = \nabla \times \mathbf{A}$$

$$\nabla \cdot \mathbf{A} = 0 \text{ (dans la jauge de Coulomb)}$$

$$\Rightarrow \nabla \times \mathbf{B} = \nabla \times \nabla \times \mathbf{A} == \nabla(\nabla \cdot \mathbf{A}) - \nabla^2 \mathbf{A} = -\nabla^2 \mathbf{A}$$

$$\Rightarrow \nabla^2 \mathbf{A} = -\mu_0 \mathbf{J}$$

Polarisation

$$\mathbf{P}(\mathbf{x}) = \frac{1}{dV} \left(\sum_{n \text{ (molécules)}} \mathbf{p}_n \right) = \frac{\mathbf{p}}{dV}$$

 \mathbf{p}_n : Dipôle électrique de l'atome ou molécule n

Polarisation:

Dipôle électrique par unité de volume

Aimantation

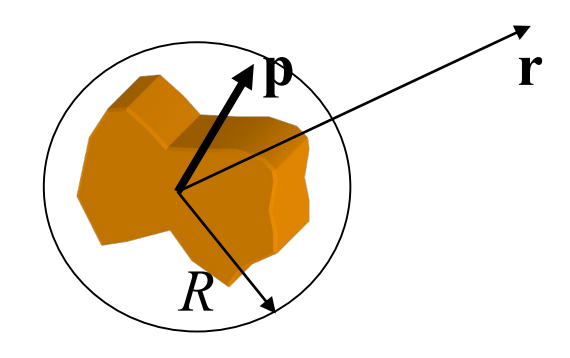
$$\mathbf{M}(\mathbf{x}) = \frac{1}{dV} \left(\sum_{n \text{ (mol\'ecules)}} \mathbf{m}_n \right) = \frac{\mathbf{m}}{dV}$$

m_n : Dipôle magnétique de l'atome ou molécule *n*

Aimantation:

Dipôle magnétique par unité de volume

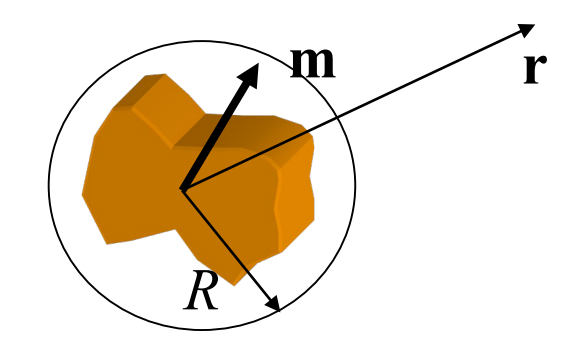
Champ électrique créé par un dipôle électrique



pour r >> R:

$$\mathbf{E}(\mathbf{r}) = \frac{1}{4\pi\varepsilon_0} \frac{3(\mathbf{p} \cdot \hat{\mathbf{r}})\hat{\mathbf{r}} - \mathbf{p}}{\left|\mathbf{r}\right|^3}$$

Champ magnétique créé par dipôle magnétique



pour
$$r >> R$$
:

$$\mathbf{B}(\mathbf{r}) \cong \frac{\mu_0}{4\pi} \frac{3(\mathbf{m} \cdot \hat{\mathbf{r}})\hat{\mathbf{r}} - \mathbf{m}}{|\mathbf{r}|^3}$$

EPFL

